

МИНИСТЕРСТВО ОБРАЗОВАНИЯ УКРАИНЫ  
ХАРЬКОВСКИЙ АВТОМОБИЛЬНО-ДОРОЖНЫЙ ИНСТИТУТ

ЗАДАНИЯ И УКАЗАНИЯ  
К ВЫПОЛНЕНИЮ КУРСОВОГО ПРОЕКТА  
ПО ТЕОРИИ МЕХАНИЗМОВ И МАШИН

для студентов специальностей 15.04, 15.05

Утверждено  
методическим советом  
института.  
Протокол № 5 от 24.06.92.

Харьков ХАДИ 1993

Задания и указания к выполнению курсового проекта по теории механизмов и машин для студентов специальностей 15.04, 15.05 / Сост.  
В.А.Перегон и др. - Харьков: ХАДИ, 1993. - 48 с.

Составители В.А.Перегон

В.В.Редько

В.А.Карпенко

Кафедра деталей машин и теории механизмов и машин

## ОБЩЕЕ ПОЛОЖЕНИЯ

В настоящем издании содержится II заданий к курсовому проекту по теории механизмов и машин. Численные значения параметров заданий (по 10 вариантов в каждом) приведены в табл. П. I-П. II.

Цель проекта - закрепление знаний по основным разделам курсов ТММ. Для студентов специальностей 15.04 и 15.05 это первый проект, который они выполняют в У семестре. Задание на проект студенты получают в ИУ семестре при получении задания на РГР (расчетно-графическую работу), связанную с проектом и частично в него входящую (определение основных размеров звеньев механизма).

Проект выполняется по графику, утвержденному деканом факультета.

## ОБЪЕМ И СОДЕРЖАНИЕ КУРСОВОГО ПРОЕКТА

Курсовой проект состоит из 4-х листов формата А 1 и пояснительной записи, в которой приведены расчеты.

Лист I. Проектирование основного механизма и расчет момента инерции маховика.

1. Определение основных размеров механизма по заданным условиям.

2. Построение планов положений механизма (I2-I3 совмещенных положений) и планов скоростей (I2-I3 планов).

3. Приведение масс и сил. Построение графиков приведенного момента инерции звеньев механизма и приведенного момента сил.

4. Определение методом графического интегрирования избыточной работы внешних сил (с учетом сил веса звеньев).

5. Определение момента инерции:  
звена приведения из условия обеспечения заданной равномерности движения;

маховика; расчет его основных размеров.

(Задачу решить с помощью метода Виттенбауэра или метода Мерцалова).

П р и м е ч а н и е: Звенья, массы и моменты инерции которых не заданы, считать невесомыми.

Л и с т 2. Определение закона движения и силовой расчет основного механизма.

1. Определение действительной угловой скорости ведущего звена.

2. Определение углового ускорения ведущего звена по уравнению движения в дифференциальной форме в заданном положении. Определение линейных ускорений центров масс и угловых ускорений звеньев (методом планов).

3. Построение картины силового нагружения механизма с учетом сил инерции и моментов сил инерции.

4. Определение сил давления в кинематических парах механизма.

Л и с т 3. Проектирование зубчатой передачи.

1. Выполнение геометрического расчета эвольвентного зацепления (колеса нарезаются стандартным реальным инструментом).

2. Вычерчивание в масштабе зубчатого зацепления с контактом в полюсе с указанием основных размеров и элементов колес и передачи. Выделение и обозначение теоретического и рабочего участков линии зацепления, активных участков профилей зубьев. Определение степени перекрытия.

Л и с т 4. Проектирование кулачкового и планетарного механизма.

1. Построение кинематических диаграмм движения толкателя (ускорения, скорости и перемещения) по заданному закону изменения аналогов ускорения или скорости толкателя.

2. Определение основных размеров кулачкового механизма с учетом максимально допустимого угла давления.

3. Построение профиля кулачка (центрового и действительного).

4. Подбор чисел зубьев планетарного механизма по заданным условиям. Колеса редуктора нулевые, модуль колес принять равным

единице. При вычерчивании кинематической схемы механизма масштаб выбрать из условия рационального заполнения листа.

5. Построение картины линейных и угловых скоростей планетарного механизма. Привести таблицу параметров механизма.

### ЗАДАНИЯ К ПРОЕКТУ

#### Задание I

##### ПРОЕКТИРОВАНИЕ И ИССЛЕДОВАНИЕ МЕХАНИЗМА КАЧАЮЩЕГОСЯ КОНВЕЙЕРА

(табл.П. I)

Качающийся конвейер (рис. I.1) предназначен для перемещения сыпучего материала в горизонтальном направлении. В качестве привода использован электродвигатель IO и зубчатая передача, состоящая из планетарного редуктора II и простой зубчатой пары  $Z_5$  и  $Z_6$ . Подача материала на желоб 5 из бункера 9 осуществляется во время совместного движения желоба и материала механизмов подачи, состоящих из кулачка 7 с толкателем 8. Закон изменения ускорения толкателя представлен на рис. I.2.

Механизм транспортировки материала состоит из желоба 5 на роликовых опорах 6, совершающего возвратно-поступательное движение за счет движения звеньев шарнирно-рычажного механизма I,2,3,4. На валу O<sub>1</sub> кривошипа закреплен маховик. Желоб при движении увлекает за счет сил трения насыпанный на него материал. Движение материала совместно с желобом возможно при величине сил трения:

$$F_{жм} = m_M \cdot f \cdot g \geq m_M \cdot a_m$$

При этом  $a_m = a_{ж}$  и  $V_m = V_{ж}$ .

Если ускорение желоба  $a \geq a_{kp} = \frac{f}{\mu} \cdot g$ , имеет место относительное движение материала и желоба. В этот период между желобом и материалом существует сила трения  $F_{жм} = m_M g \cdot f$ , за счет которой обеспечивается равнозамедленное движение материала по желобу до момента выравнивания их скоростей. Материал передвигается по желобу со скоростью

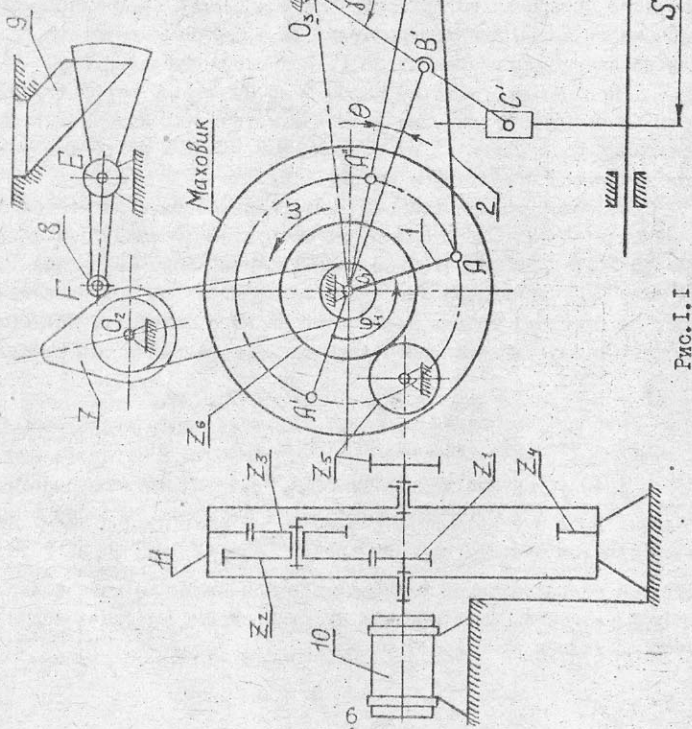


Рис. I.1

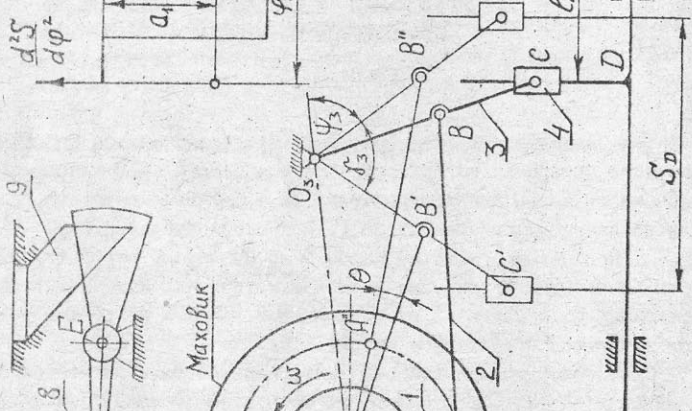


Рис. I.2.

$$v_M = v_{\text{отр}} - at,$$

где  $v_{\text{отр}}$  — скорость желоба в момент отрыва материала при  $a_M = f \cdot g$ .

Когда скорости материала и желоба сравняются по величине и направлению, материал с желобом будут перемещаться опять вместе с одинаковой скоростью. Сила трения между желобом и роликовыми опорами

$$F_H = (m_{\text{ж}} + m_{\text{ж}}) f_g \cdot g .$$

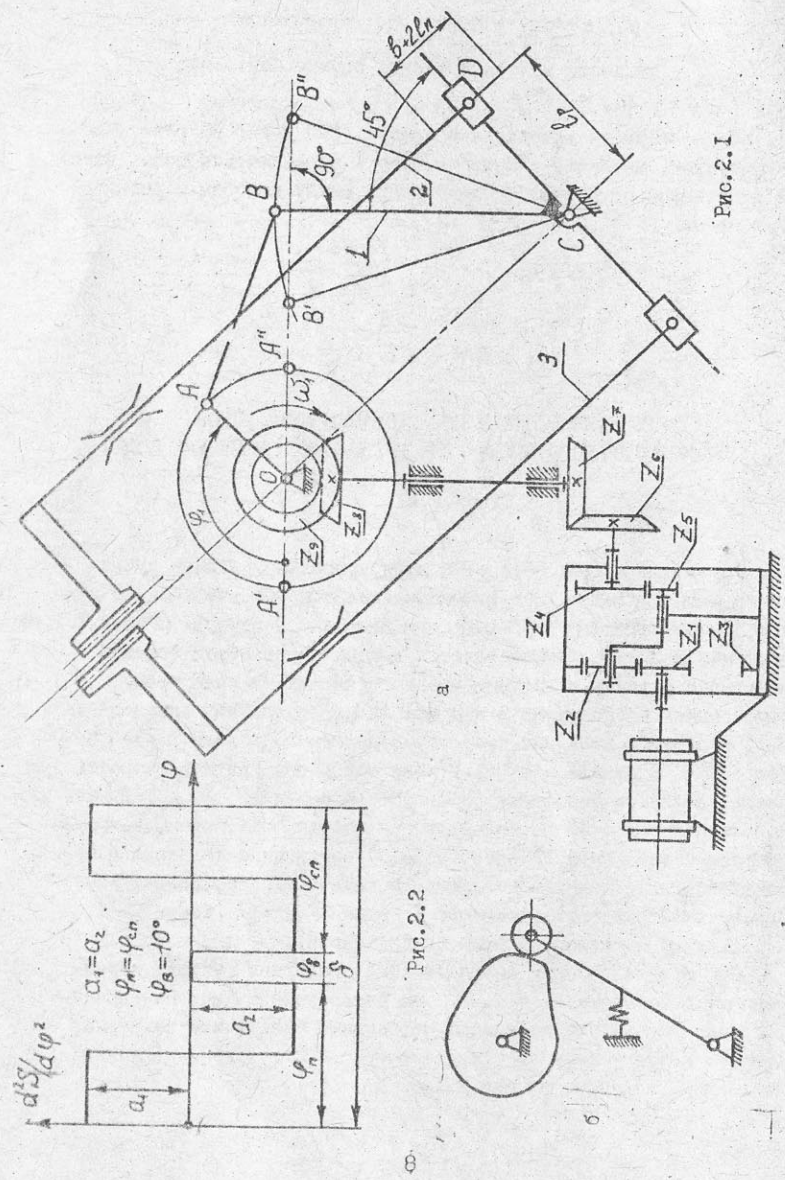
### Задание 2

#### ПРОЕКТИРОВАНИЕ И ИССЛЕДОВАНИЕ МЕХАНИЗМОВ ЗУБОСТРОГАЛЬНОГО СТАНКА ДЛЯ НАРЕЗАНИЯ КОНИЧЕСКИХ КОЛЕС

(табл. П.2)

Нарезание зубьев колеса на зубострогальном станке производится двумя резцами, совершающими возвратно-поступательное движение и работающими попарно при движении к центру  $O$  (рис. 2.1, а). Обкаточное движение осуществляется вращением резцовой головки совместно с резцами и вращением заготовки. Длина хода резцов  $H$ , установленных на ползунах 2 и 3 механизма строгания, определяется в зависимости от длины зуба  $B$  нарезаемого колеса и длин пе-ребегов  $\ell_1$  в начале и в конце хода ползунов. Средняя скорость движения ползунов определяется с помощью формулы  $v_{\text{ср}} = H \cdot \omega / \pi$ . Движение ползунов 2 и 3 осуществляется при помощи восьмизвездного рычажного механизма, представляющего собой соединение шарнирного четырехзвенника с кулисно-ползунным механизмом. Коэффициент изменения средней скорости коромысла I равен  $K_\omega = 1$  (точки  $A^1$ ,  $A^{II}$ ,  $B^1$ ,  $B^{II}$  расположены на одной прямой).

При проектировании линии движения ползунов считать параллельными, отстоящими от оси  $OC$  на расстояние  $\ell_p$ . При проектировании кулачкового механизма необходимо обеспечить заданный закон изменения ускорений толкателя (рис. 2.2). Схема кулачкового механизма показана на рис. 2.1, б.



### Задание 3

ПРОЕКТИРОВАНИЕ И ИССЛЕДОВАНИЕ МЕХАНИЗМОВ  
ПОПЕРЕЧНО-СТРОГАЛЬНОГО СТАНКА

(табл.П.3)

Поперечно-строгальный станок предназначен для строгания поверхностей. Основа его - шестизвездный кривошипно-коромысловый механизм (рис.3.1, а), состоящий из кривошипа 1, шатуна 2, коромысла 3, ползунов 4 и 5. Привод состоит из забчатой передачи  $Z_5$ ,  $Z_6$ , планетарного редуктора 6 и электродвигателя 7. Диаграмма сил сопротивления движению ползуна 5 показана на рис.3.1, б.

Число двойных ходов ползуна 5 в минуту, равное числу оборотов кривошипа ( $n_1$  об/мин), определяют по заданной скорости резания  $V_{рез}$ , коэффициенту изменения скорости  $K_{v_5} = K_{v_3}$  и ходу ползуна  $H$ .

Перемещение стола на величину подачи производится с помощью ходового винта, поворачиваемого посредством коромыслового толкателя 9 (рис.3.1, а), с дисковым кулачком 8, который закреплен на валу 0 кривошипа. Подача стола регулируется путем изменения длины рычага  $M_L$ .

При проектировании кулачкового механизма, необходимо обеспечить заданный закон движения толкателя (см. рис.3.2) и осуществить подачу стола во время перебегов резца в конце холостого и в начале рабочего ходов в соответствии с циклограммой (рис.3.1, в).

Задание 4

ПРОЕКТИРОВАНИЕ И ИССЛЕДОВАНИЕ МЕХАНИЗМОВ  
БРИКЕТИРОВОЧНОГО АВТОМАТА

(табл.П.4)

Брикетировочный автомат предназначен для прессования брикетов из различных порошковых материалов.

Для возвратно-поступательного перемещения ползуна 5 используется шестизвездный кривошипно-кулисный механизм I,2,3,4 с качающейся кулисой (рис.4.1). Привод состоит из зубчатой передачи  $Z_5, Z_6, Z_7$ , планетарного редуктора 6 и электродвигателя 7. Маховик 8 установлен на выходном валу редуктора.

Прессование происходит при движении ползуна 5 слева направо.

Диаграмма сил сопротивления представлена на рис.4.2, а значения усилий прессования определяются из формулы

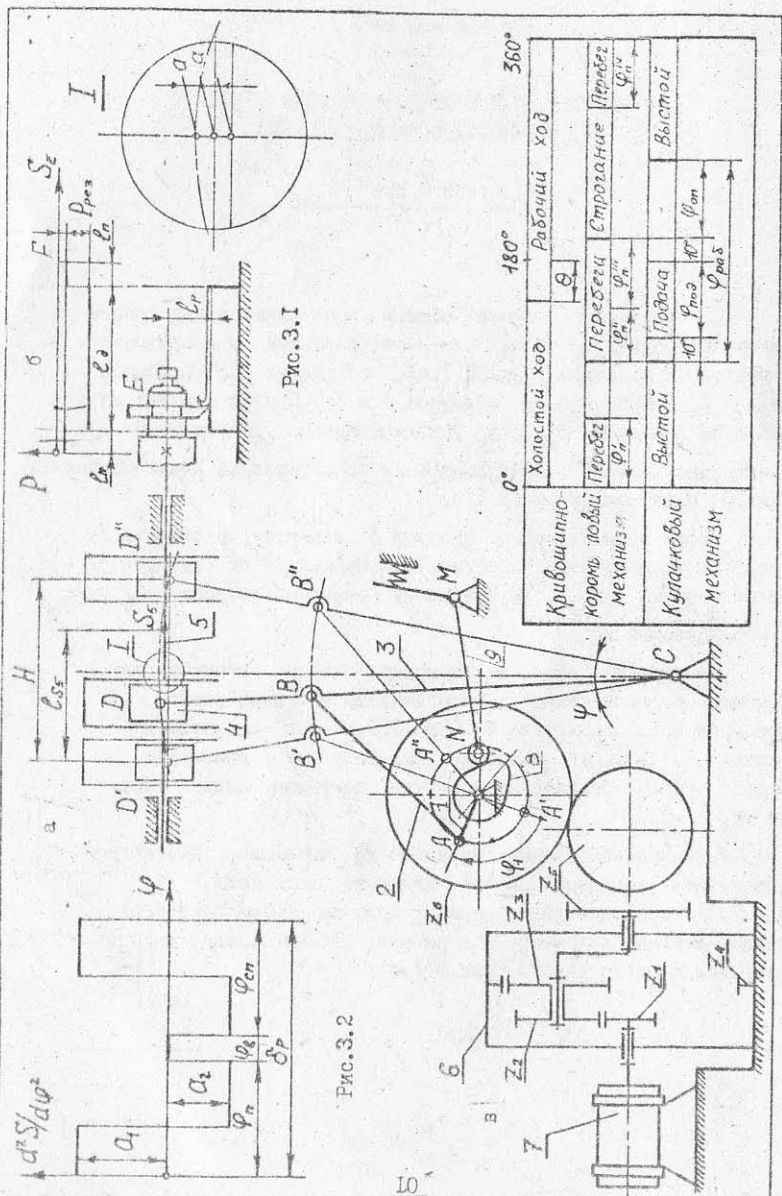
$$P = P_{max} (S_D / H)^2$$

От главного вала через зубчатую передачу (на чертеже не показана) вращение передается на вал дискового кулачка, приводящего в движение механизм выталкивания брикета из форм.

Схема кулачкового механизма выталкивания брикета изображена на рис.4.3. Механизм выталкивания и подачи материала на чертежах не показан.

При проектировании кулачкового механизма необходимо обеспечить заданный закон изменения ускорения толкателя (рис.4.4). Угол  $\varphi_{выст}$  принять равным  $10^\circ$ .

Геометрический расчет эвольвентной зубчатой передачи выполнить для колес с числами зубьев  $Z_5$  и  $Z_6$ .



Задание 5

ПРОЕКТИРОВАНИЕ И ИССЛЕДОВАНИЕ МЕХАНИЗМА  
КРИВОШИПНО-КОЛЕННОГО ПРЕССА

(табл.П.5)

Кривошипно-коленный пресс (рис.5.1, а) предназначен для штамповки, холодной калибровки и чеканки. Высадочный (основной) механизм I,2,3,4,5 является кривошипно-коромысловым. Коромысло 3 выполнено в виде шарнирного треугольника. Благодаря такой схеме рабочие скорости ползуна в конце хода малы, жесткость механизма пресса увеличивается. Коленчатый вал I высадочного механизма приводится в движение электродвигателем II при помощи планетарного редуктора I2 и зубчатой передачи  $Z_5, Z_6$ . Маховик IO размещен на валу I (рис.5.1, б). Высадочный ползун 5 с закрепленным в нем пuhanсоном, совершающий по вертикали возвратно-поступательное движение, осуществляет деформацию заготовки. Диаграмма усилий высадки представлена на рис.5.1, в. Значения усилия высадки приведены на рис.5.1, г. Подача заготовки производится при холостом ходе (вверх) ползуна 5. Механизм подачи состоит из кулачка 6, закрепленного на коленчатом валу I, коромыслового толкателя 7 и тяги 8 с ползуном 9, снабженным приспособлением для подачи заготовки (см.рис.5.1, а). Закон изменения ускорения толкателя см.рис.5.1, г.

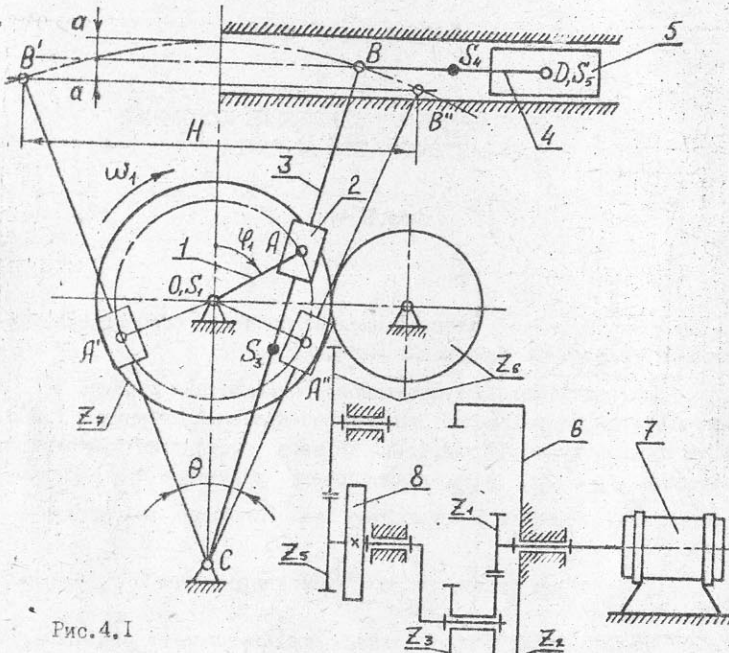


Рис. 4.1

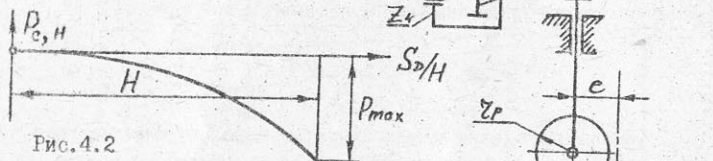


Рис. 4.2

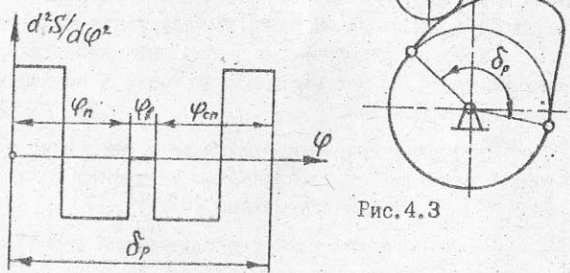


Рис. 4.4

Задание 6

ПРОЕКТИРОВАНИЕ И ИССЛЕДОВАНИЕ  
БРИКЕТИРОВОЧНОГО АВТОМАТА

(табл. П.6)

Брикетировочный автомат предназначен для прессования брикетов из различных материалов. Основа автомата - кулисный механизм (рис. 6.1). Движение от электродвигателя 13 через планетарный редуктор 12 передается кривошипу 1. Связанный с ним шарнирно камень 2 скользит вдоль кулисы 3, заставляя ее совершать возвратно-вращательное движение вокруг опоры  $C$ . Через шатун 4 движение передается ползуну 5, производящему прессование (брикетирование) материала. Диаграмма сил сопротивления, действующих на ползун 5 при прессовании, представлена на рис. 6.2. Данные для построения указанной диаграммы рассчитывают по формуле

$$\rho_0 = \rho_{c \max} (S_E / H_E)^2.$$

Механизм выталкивателя готовых брикетов (на чертеже не показан) включает кулачок 9 с поступательно движущимся центральным роликовым толкателем 10. Кулачок приводится в движение от вала кривошипа через зубчатую передачу, состоящую из колес 6, 7, 8. Кулачковый механизм должен обеспечить заданный закон движения толкателя (рис. 6.3). Маховик II установлен на выходном валу редуктора 12.

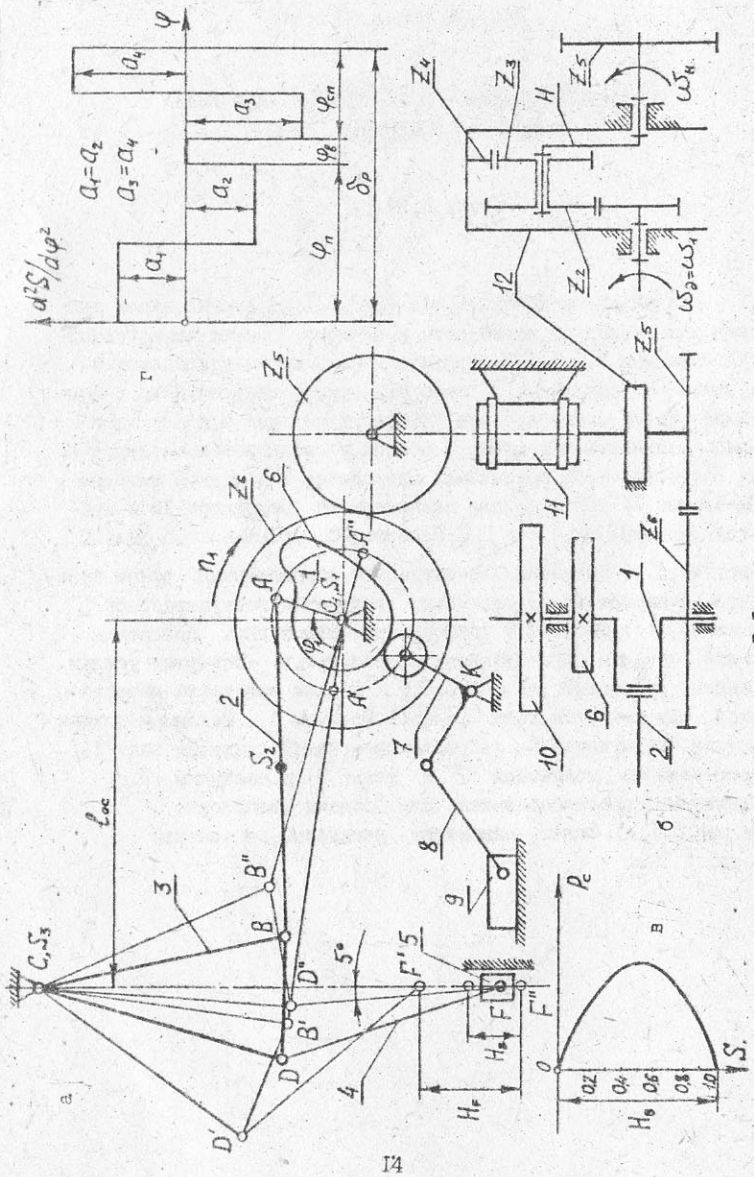


Рис. 6.1

Задание 7

ПРОЕКТИРОВАНИЕ И ИССЛЕДОВАНИЕ СТРОГАЛЬНОГО СТАНКА  
С ВРАЩАЮЩЕЙСЯ КУЛИСОЙ

(табл. П.7)

Строгальный станок предназначен для строгания плоских поверхностей. Привод станка состоит из электродвигателя, планетарного редуктора и зубчатой передачи ( $z_5, z_6$ ) (рис. 7.1, а). Резание материала производится резцом, закрепленным в резцовой головке, совершающей возвратно-поступательное движение. Для движения резца, укрепленного в суппорте ползуна 5, используется шестизвенный кривошипно-кулисный механизм, состоящий из кривошипа 1, кулисного ползуна 2, вращающейся кулисы 3, шатуна 4, ползуна 5. Силы сопротивления, приложенные к звену 5, показаны в виде диаграммы ( $P_{c5}, S_{d5}$ ) на рис. 7.1, б. Ход  $H$  ползуна 5 выбирается в зависимости от длины обрабатываемой детали  $l_g$  с учетом длины перебегов резца  $l_n$  в начале и в конце рабочего хода. Во время перебегов в конце холостого хода и в начале рабочего хода осуществляется перемещение стола (на котором закрепляется обрабатываемая деталь) с помощью ходового винта на величину поперечной подачи (на рис. 7.1 не показано). Поворот этого винта производится кулачковым механизмом, состоящим из кулачка 6, закрепленного на одном валу с кривошипом 1, и коромыслового толкателя 7.

При проектировании кулачкового механизма необходимо обеспечить заданный закон изменения ускорений точки  $B$  толкателя (рис. 7.1, в) и осуществить подачу резца во время его перебегов в соответствии с циклограммой работы механизмов строгального станка.

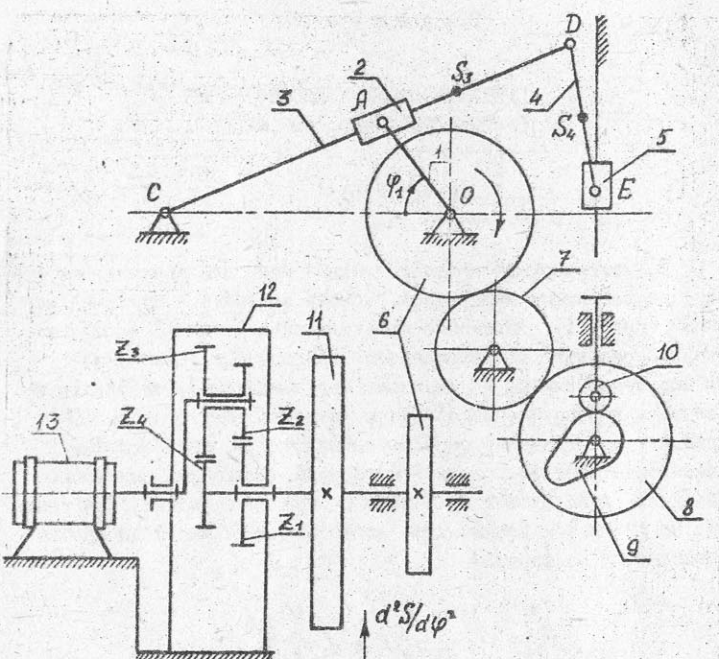


Рис. 6.1

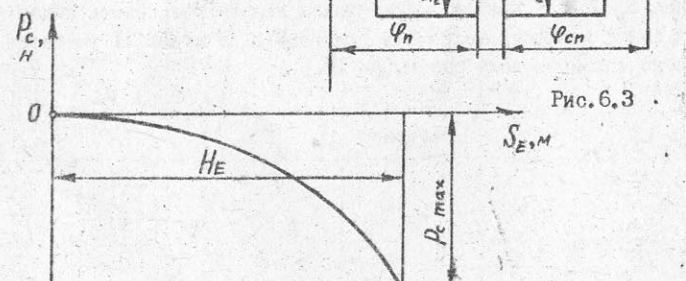


Рис. 6.2

16

Рис. 6.3

5-3356

17

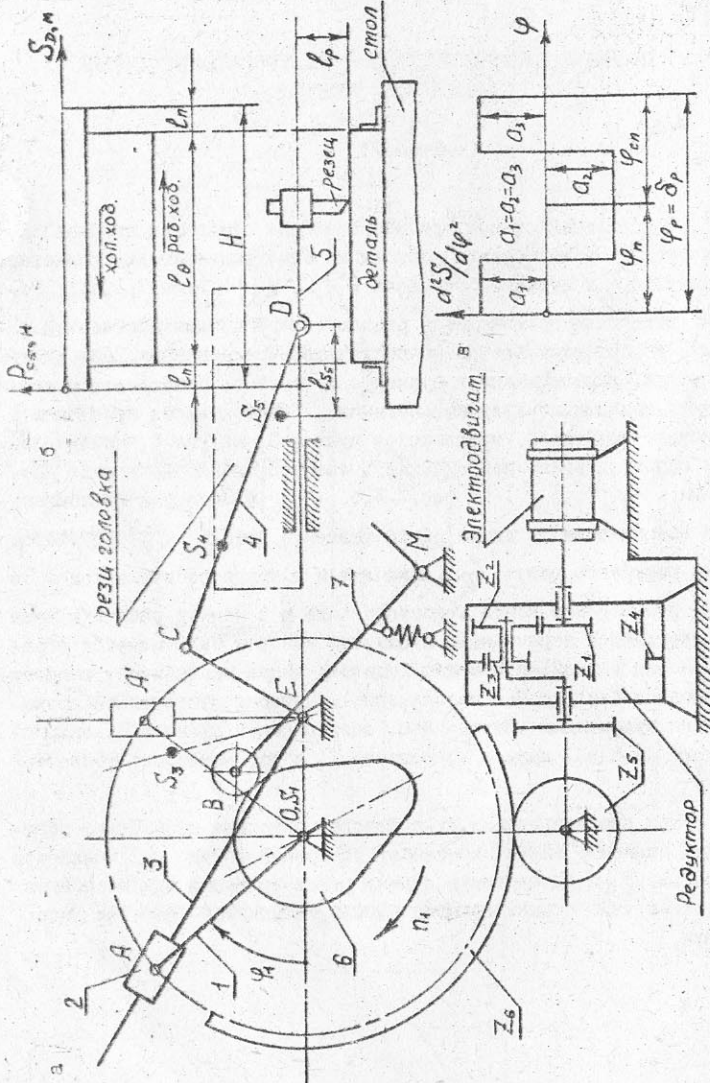


Рис. 7.1

18

### Задание 8

ПРОЕКТИРОВАНИЕ И ИССЛЕДОВАНИЕ  
ДВУХЦИЛИНДРОВОГО КОМПРЕССОРА

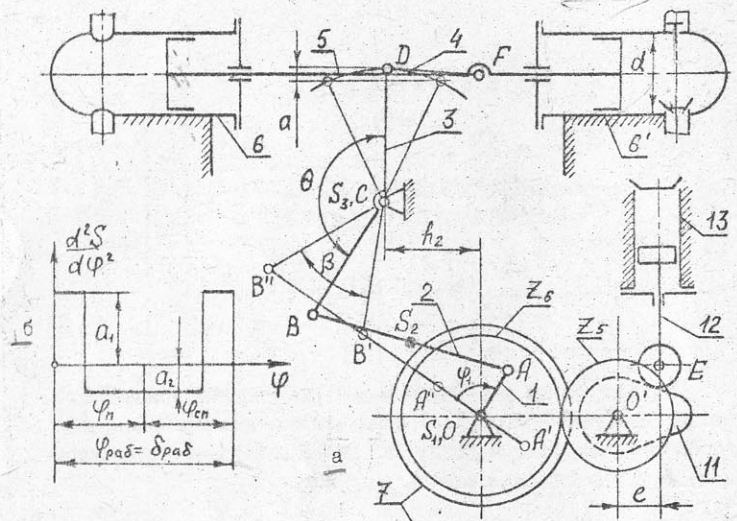
(табл. П.8.1, П.8.2)

Горизонтальный двухцилиндровый кислородный компрессор простого действия (рис. 8.1, а) предназначен для наполнения газообразным кислородом баллонов. Баллоны заряжаются кислородом до необходимого давления  $P_{max}$  МПа.

Основа компрессора – шестизвездный шарнирно-рычажный механизм, состоящий из коленчатого вала 1, шатуна 2, углового рычага 3, шатуна-сервиги 4, плунжера 5 с двумя поршнями и двух цилиндров 6, 6'. Коленчатый вал 1 приводится в движение асинхронным электродвигателем 10 через упругую муфту 9, планетарный редуктор 8 и зубчатую передачу  $Z_5, Z_6$ . Для обеспечения движения механизма с заданной неравномерностью на коленчатом валу компрессора помещен маховик 7. Смазка механизма осуществляется от масляного насоса, плунжер которого приводится в движение кулачком II, закрепленным на валу зубчатого колеса  $Z_5$ . Схема кулачкового механизма II–I2 масляного насоса I3 представлена на рис. 8.1, а, закон изменения ускорения плунжера насоса (толкателя) – на рис. 8.1, б. Изменение давления по перемещению поршней в цилиндрах 6, 6' компрессора характеризуется индикаторными диаграммами (рис. 8.1, в), данные для построения которых приведены в табл. П.8.2.

57x

19



Фазы:  
d-a - расширение;  
a-b - всасывание;  
b-c - сжатие;  
c-d - нагнетание.

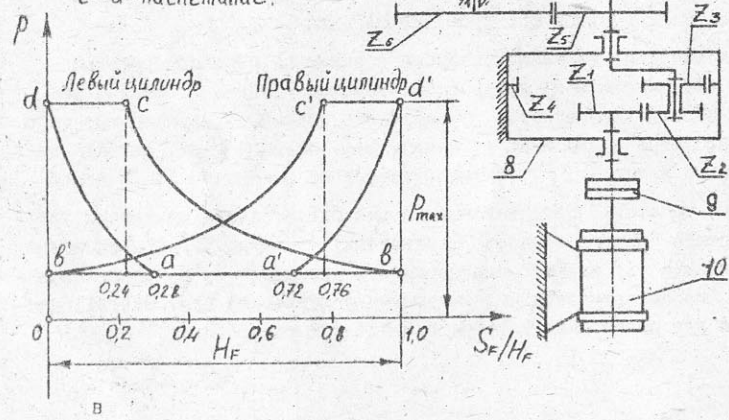


Рис. 8.1

### Задание 9

#### ПРОЕКТИРОВАНИЕ И ИССЛЕДОВАНИЕ МЕХАНИЗМОВ ПОРШНЕВОГО НАСОСА

(табл. II.9)

Вертикальный одноцилиндровый поршневой насос (рис. 9.1, а) предназначен для повышения давления жидкости в гидросистеме и подачи ее в напорный трубопровод. Насос приводится в движение асинхронным электродвигателем I. Вращательное движение от электродвигателя через зубчатую передачу 2-3 с неподвижными осями колес и однорядный планетарный редуктор 4-5-6-8 передается на вал 7 шестизвездного кривошипно-ползунного механизма 7-8-9-10-11. Всасывание жидкости в цилиндр 12 при ходе поршня II вверх осуществляется через выпускной клапан 13 при давлении жидкости, близком к атмосферному (в расчете принять  $P_{min} = 0$ ). Жидкость нагнетается в напорный трубопровод 14 под давлением  $P_{max}$  через выпускной клапан 15. Изменение давления в цилиндре по пути поршня характеризуется индикаторной диаграммой, изображенной на рис. 9.1, б. Применение кривошипно-коромыслового механизма дает возможность обеспечить движение поршня (в период всасывания жидкости) с большей средней скоростью, чем при ходе поршня вниз (в период нагнетания), что увеличивает производительность насоса. Для обеспечения необходимой равномерности движения на кривошинном валу 7 закреплен маховик 16. В данной установке отсутствует кулачковый механизм. Проектирование кулачкового механизма провести по заданию 8.

### Задание 10

#### ПЛУНЖЕРНЫЙ НАСОС

(табл. II.10)

Плунжерные насосы (рис. 10.1, а) предназначаются для перекачки различного рода жидкостей.

Привод насоса осуществляется от электродвигателя 10 через планетарный редуктор 9 и пару зубчатых колес  $z_5$  и  $z_6$ . С зубчатым колесом  $z_6$  жестко связан кривошипный вал I (ось  $O$ ), движение от которого передается на шатун 2, который заставляет

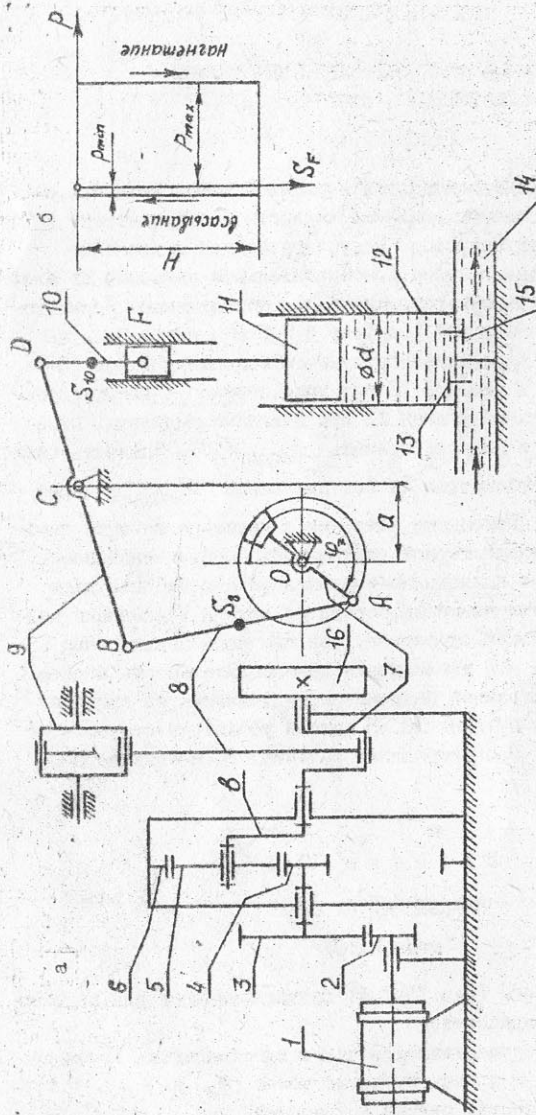


FIG. 9. I

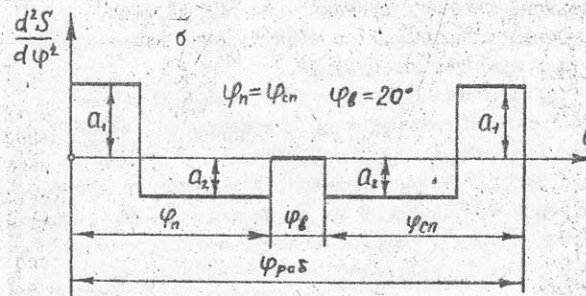
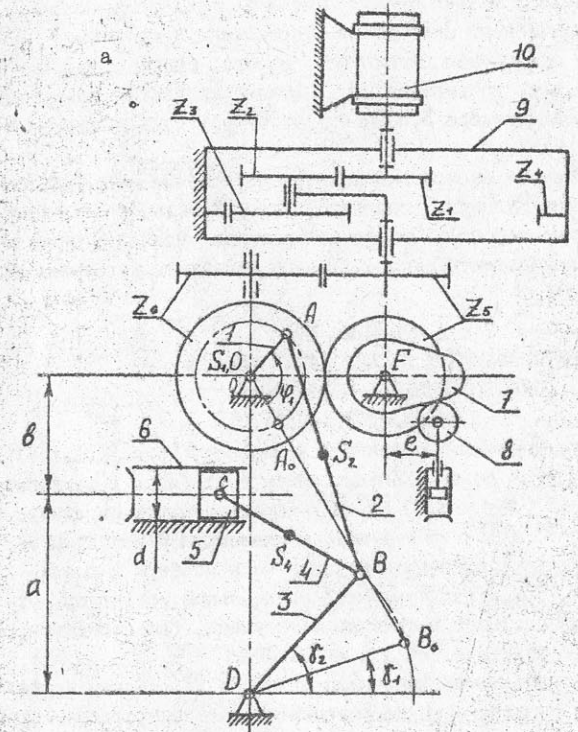


Рис. 10

колебаться коромысло 3 вокруг оси  $\mathcal{D}$ . Шатун 4 передает движение плунжеру 5 гидравлического цилиндра 6. Шестизвездный механизм является основным механизмом плунжерного насоса. Рабочий процесс в цилиндре 6 насоса, т.е. всасывание и нагнетание жидкости осуществляется за двойной ход плунжера 5, чьему соответствует один оборот кривошипа I.

Смазка механизмов насоса выполняется плунжерным масляным насосом кулачкового типа. Кулачок 7 приводит в поступательное движение толкатель 8 (плунжер насоса). При проектировании кулачкового механизма необходимо осуществить заданный закон изменения ускорения толкателя (рис. II. I, б).

### Задание II ПРОЕКТИРОВАНИЕ И ИССЛЕДОВАНИЕ МЕХАНИЗМОВ ДВУХСТУПЕНЧАТОГО КОМПРЕССОРА (табл. П. II. 1, П. II. 2)

Угловой двухступенчатый поршневой компрессор (рис. II. I, а, б) предназначен для сжатия воздуха. Его механизм приводится в движение электродвигателем 13 ( $\pi_c = 3000$  об/мин) через зубчатую передачу, состоящую из колес 10 и 11 ( $m = 4$  мм), и планетарный редуктор 9.

Воздух в цилиндр I ступени поступает из атмосферы и после сжатия до давления  $P_{1\max}$  нагнетается в специальный резервуар, откуда через клапаны поступает в цилиндр II ступени, где сжимается от давления  $P_{1\max}$  до давления  $P_{2\max} = 1,1$  МПа.

Управление всасывающими клапанами цилиндра II ступени осуществляется кулачком 8, насаженным на коленчатый вал компрессора. Схема кулачкового механизма показана на рис. II. I, в, а закон изменения ускорения толкателя кулачкового механизма - на рис. II. I, г.

Изменение давления в цилиндрах по пути поршней характеризуется индикаторной диаграммой (табл. П. II. 2).

Для сжатия воздуха в цилиндре первой ступени используется шестизвездный кривошипно-кулисный механизм с вращающейся кулисой, состоящей из кривошипа I, втулки 2, кулисы 3, шатуна 4 и поршня 5.

Поршень 7 цилиндра II ступени приводится в движение кривошипно-ползунным механизмом, состоящим из коленчатого вала I, шатуна 6 и поршня 7. Ход поршня I ступени в два раза больше хода поршня II ступени. Маховик 12 закреплен на валу электродвигателя.

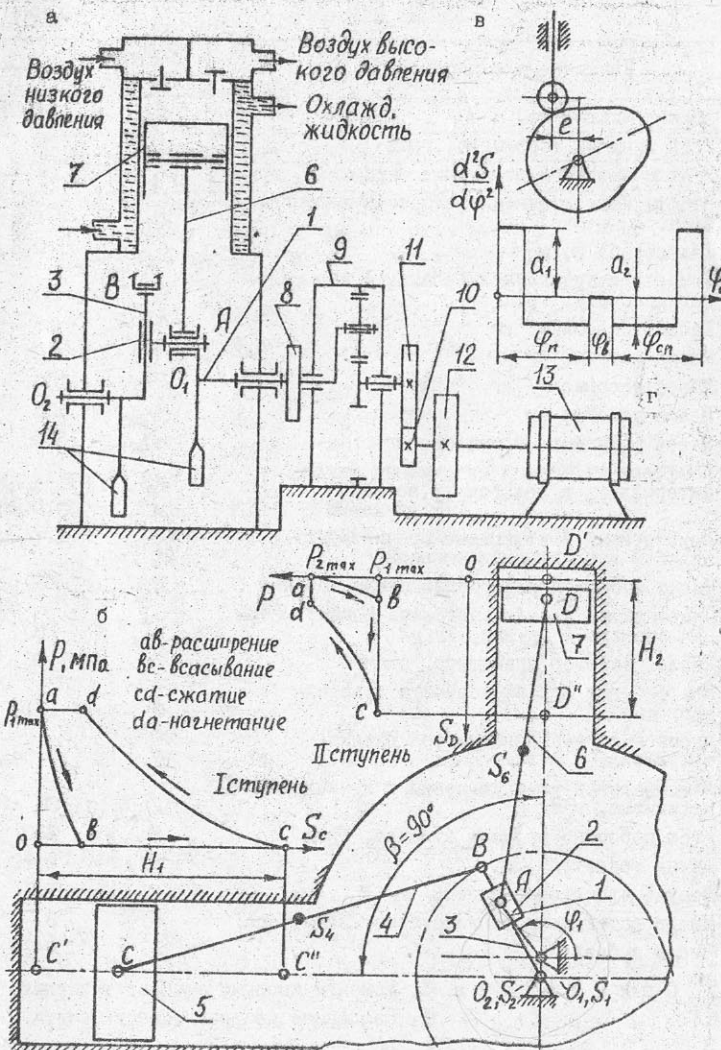


Рис. II

## Исходные

| Наименование параметра                                                              | Обозна-<br>чение | I            |
|-------------------------------------------------------------------------------------|------------------|--------------|
| 1. Длина кривошипа, м                                                               | $l_1$            | 0,07         |
| 2. Угол качания коромысла, град                                                     | $\beta_3$        | 78           |
| 3. Угол начального положения коромысла, град                                        | $\psi_3$         | 51           |
| 4. Коэффициент изменения скорости ведомого звена 3                                  | $K_{\omega}$     | 1,4          |
| 5. Ход желоба 5, м                                                                  | $S_D$            | 0,3          |
| 6. Угловая координата кривошипа I для силового расчета, град                        | $\varphi_1$      | 30           |
| 7. Масса кривошипа, кг                                                              | $m_1$            | 25           |
| 8. Масса шатуна, кг                                                                 | $m_2$            | 40           |
| 9. Масса коромысла, кг                                                              | $m_3$            | 100          |
| 10. Масса желоба, кг                                                                | $m_{ж}$          | 400          |
| II. Масса материала в желобе, кг                                                    | $m_M$            | 1500         |
| 12. Коэффициент трения скольжения между материалом и желобом: в покое<br>в движении | $f_0$<br>$f$     | 0,46<br>0,26 |
| 13. Приведенный коэффициент трения между желобом и роликовыми опорами               | $f_1$            | 0,1          |
| 14. Число оборотов электродвигателя, об/мин                                         | $n_g$            | 880          |
| 15. Приведенный к валу кривошипа момент инерции звеньев I группы, кг·м <sup>2</sup> | $J_{np}^I$       | 150          |
| 16. Число оборотов кривошипа, об/мин                                                | $n_1$            | 90           |
| 17. Коэффициент неравномерности вращения кривошипа                                  | $\delta$         | 1/10         |
| 18. Дуговое перемещение центра ролика толкателя, м                                  | $H_f$            | 0,04         |
| 19. Максимальный угол давления в кулачковом механизме, град                         | $\angle_{don}$   | 30           |
| 20. Угол рабочего профиля кулачка, град                                             | $\delta_{раб}$   | 130          |
| 21. Длина толкателя, м                                                              | $l_{FF}$         | 0,10         |
| 22. Модуль зубчатой передачи $z_5, z_6$ , мм                                        | $m$              | 5            |
| 23. Число сателлитов в планетарном редукторе                                        | $K$              | 3            |
| 24. Числа зубьев                                                                    | $z_5, z_6$       | 9;10         |

П р и м е ч а н и я. 1. Моменты инерции звеньев вычислить  
2. Положение центров тяжести считать

## ПРИЛОЖЕНИЕ

Таблица П.1

## данные

| Числовые значения для вариантов |       |       |       |       |       |       |       |       |  |
|---------------------------------|-------|-------|-------|-------|-------|-------|-------|-------|--|
| 2                               | 3     | 4     | 5     | 6     | 7     | 8     | 9     | 0     |  |
| 0,075                           | 0,08  | 0,085 | 0,09  | 0,095 | 0,01  | 0,11  | 0,12  | 0,13  |  |
| 74                              | 70    | 66    | 64    | 62    | 60    | 58    | 56    | 45    |  |
| 53                              | 55    | 57    | 58    | 59    | 60    | 61    | 62    | 63    |  |
| I.4                             | I.4   | I.25  | I.25  | I.25  | I.25  | I.182 | I.182 | I.182 |  |
| 0,3                             | 0,3   | 0,3   | 0,3   | 0,3   | 0,3   | 0,3   | 0,3   | 0,3   |  |
| 60                              | 90    | 120   | 150   | 30    | 60    | 90    | 120   | 150   |  |
| 27                              | 30    | 35    | 40    | 45    | 50    | 55    | 60    | 65    |  |
| 45                              | 50    | 55    | 60    | 65    | 70    | 75    | 80    | 85    |  |
| 110                             | 120   | 130   | 140   | 150   | 160   | 170   | 180   | 190   |  |
| 500                             | 600   | 700   | 800   | 900   | 1000  | 1100  | 1200  | 1300  |  |
| 1600                            | 1700  | 1800  | 1900  | 2000  | 2200  | 2400  | 2600  | 2800  |  |
| 0,48                            | 0,5   | 0,52  | 0,53  | 0,54  | 0,56  | 0,56  | 0,58  | 0,58  |  |
| 0,28                            | 0,3   | 0,32  | 0,33  | 0,34  | 0,36  | 0,38  | 0,38  | 0,4   |  |
| 0,1                             | 0,1   | 0,1   | 0,1   | 0,1   | 0,1   | 0,1   | 0,1   | 0,1   |  |
| 880                             | 880   | 880   | 880   | 930   | 930   | 930   | 930   | 930   |  |
| 160                             | 170   | 180   | 190   | 200   | 210   | 220   | 230   | 240   |  |
| 86                              | 82    | 78    | 74    | 68    | 66    | 64    | 62    | 60    |  |
| I/I0                            | I/I0  | I/I0  | I/I0  | I/I0  | I/I0  | I/I0  | I/I0  | I/I0  |  |
| 0,044                           | 0,048 | 0,052 | 0,056 | 0,058 | 0,062 | 0,066 | 0,07  | 0,075 |  |
| 30                              | 30    | 30    | 30    | 30    | 30    | 30    | 30    | 30    |  |
| 140                             | 150   | 160   | 170   | 130   | 140   | 150   | 160   | 170   |  |
| 0,110                           | 0,120 | 0,13  | 0,14  | 0,145 | 0,15  | 0,155 | 0,16  | 0,165 |  |
| 5                               | 5     | 5     | 5     | 5     | 5     | 5     | 5     | 5     |  |
| 3                               | 3     | 3     | 3     | 3     | 3     | 3     | 3     | 3     |  |
| 9;II                            | 9;I2  | 9;I3  | 10;II | 10;I2 | 10;I3 | 10;I4 | II;I2 | II;I3 |  |

по формуле  $I_g = m \rho^2 / 10$ , где  $m$  - масса стержня,  $\rho$  - длина звена.  
посредине длин звеньев.

Таблица П.2

## данные

| Числовые значения для вариантов |       |      |       |       |       |       |      |       |  |
|---------------------------------|-------|------|-------|-------|-------|-------|------|-------|--|
| 2                               | 3     | 4    | 5     | 6     | 7     | 8     | 9    | 0     |  |
| 0,03                            | 0,035 | 0,04 | 0,045 | 0,05  | 0,06  | 0,07  | 0,08 | 0,09  |  |
| 0,05                            | 0,05  | 0,05 | 0,05  | 0,05  | 0,05  | 0,05  | 0,05 | 0,05  |  |
| 40                              | 40    | 35   | 35    | 35    | 35    | 30    | 30   | 30    |  |
| 2800                            | 2800  | 2800 | 2800  | I440  | I440  | I440  | I440 | I440  |  |
| 0,1                             | 0,12  | 0,12 | 0,14  | 0,14  | 0,16  | 0,18  | 0,2  | 0,22  |  |
| 1000                            | 1300  | 2000 | 3200  | 900   | 950   | 2000  | 2500 | 3000  |  |
| 7                               | 10    | 15   | 20    | 6     | 6     | 15    | 18   | 20    |  |
| 5                               | 7     | 10   | 12    | 4     | 5     | 10    | 10   | 11    |  |
| 2,5                             | 4     | 5    | 8     | 2,4   | 3     | 4,5   | 5    | 7     |  |
| 0,5                             | 0,5   | 0,5  | 0,5   | 0,5   | 0,5   | 0,5   | 0,5  | 0,5   |  |
| 0,10                            | 0,11  | 0,12 | 0,12  | 0,10  | 0,10  | 0,11  | 0,11 | 0,12  |  |
| I/33                            | I/30  | I/30 | I/25  | I/25  | I/25  | I/25  | I/25 | I/25  |  |
| 0,55                            | 0,55  | 0,66 | 0,7   | 0,5   | 0,5   | 0,5   | 0,5  | 0,5   |  |
| 90                              | 90    | 90   | I20   | 60    | 60    | I20   | 60   | I20   |  |
| 0,02                            | 0,025 | 0,03 | 0,03  | 0,025 | 0,030 | 0,035 | 0,04 | 0,045 |  |
| 0,12                            | 0,12  | 0,14 | 0,14  | 0,12  | 0,13  | 0,14  | 0,15 | 0,16  |  |
| 35                              | 35    | 35   | 35    | 35    | 35    | 35    | 30   | 30    |  |
| I00                             | I40   | I80  | I40   | I80   | I60   | I20   | I60  | I40   |  |
| 10                              | 11    | 10   | 10    | 9     | 10    | II    | I2   | I3    |  |
| 14                              | 15    | 12   | 12    | 13    | 14    | 15    | 15   | 16    |  |
| 10                              | 10    | 10   | 5     | 5     | 5     | 5     | 5    | 5     |  |

по заданным условиям ( $H = \beta + 2\ell_n, \rho_p, k_w = I$ ).  
определить по заданным  $\beta, \ell_n > v_{cp}$ .

редукторе равно 3.  
определить по зависимости  $J_s = m\rho^2/8$ .  
посредине длин звеньев.

| Наименование параметра                                                        | Обозна-<br>чение      | Исходные<br>I |
|-------------------------------------------------------------------------------|-----------------------|---------------|
| I. Длина зуба нарезаемого колеса, м                                           | $\beta$               | 0,025         |
| 2. Длина перебора резца в долях от $\beta$ , м                                | $\ell_n$              | 0,05          |
| 3. Средняя скорость резания, м/мин                                            | $v_{cp}$              | 40            |
| 4. Число оборотов электродвигателя, об/мин                                    | $n_d$                 | 2800          |
| 5. Межосевое расстояние между опорами кривошипа и кулисы, м                   | $\ell_{oc}$           | 0,1           |
| 6. Сила резания, Н                                                            | $P_{rez}$             | 600           |
| 7. Масса ползунов, кг                                                         | $m_{5,7}$             | 5             |
| 8. Масса кулисы, кг                                                           | $m_3$                 | 3             |
| 9. Масса шатуна, кг                                                           | $m_2$                 | 2             |
| 10. Отношение расстояния от точки $A$ до центра тяжести шатуна к длине шатуна | $AS_2/AB$             | 0,5           |
| II. Установочный размер для резца, м                                          | $\ell_p$              | 0,07          |
| 12. Коэффициент неравномерности вращения кривошипа                            | $\delta$              | I/25          |
| 13. Маховой момент ротора электродвигателя, кг·м <sup>2</sup>                 | $J_{np}^I$            | 0,4           |
| 14. Угловая координата для силового расчета, град                             | $\varphi$             | 120           |
| 15. Максимальный подъем толкателя, м                                          | $h$                   | 0,02          |
| 16. Длина толкателя, м                                                        | $\ell_t$              | 0,13          |
| 17. Максимально допустимый угол давления толкателя, град                      | $\angle_{\text{доп}}$ | 35            |
| 18. Угол рабочего профиля кулачка, град                                       | $\delta_{\text{раб}}$ | 120           |
| 19. Число зубьев колеса 5                                                     | $z_5$                 | 9             |
| 20. Число зубьев колеса 4                                                     | $z_4$                 | 13            |
| 21. Модуль зубчатых колес $z_4$ и $z_5$ и колес планетарного редуктора, мм    | $m$                   | 10            |

- П р и м е ч а н и я. 1. Размеры звеньев механизма определить  
 2. Число оборотов кривошипа ( $n_1$ , об/мин)  
 3. Числа зубьев  $z_6 = z_7 = 34, z_8 = z_9 = 42$ .  
 4. Число сателлитов в планетарном  
 5. Момент инерции звеньев 2 и 3  
 6. Положение центров тяжести считать

## Исходные

| Наименование параметра                                                                     | Обозна-<br>чение                                       | I          |
|--------------------------------------------------------------------------------------------|--------------------------------------------------------|------------|
| 1. Ход ползуна 5, м                                                                        | $H$                                                    | 0,3        |
| 2. Длина перебора резца, м                                                                 | $\ell_p$                                               | 0,1H       |
| 3. Число оборотов электродвигателя, об/мин                                                 | $\pi_{\text{ДВ}}$                                      | 950        |
| 4. Коэффициент изменения скорости                                                          | $K_{V_5} = K_{\omega_3}$                               | 1,4        |
| 5. Скорость резания, м/мин                                                                 | $v_{\text{рез}}$                                       | 30         |
| 6. Длина коромысла, м                                                                      | $\ell_{DC}$                                            | 0,6        |
| 7. Отношения длин звена 3.                                                                 | $\ell_{CD} : \ell_{BC}$                                | 1,5        |
| 8. Отношения, определяющие положение центра тяжести: коромысла шатуна                      | $\ell_{S_3C} : \ell_{DC}$<br>$\ell_{S_2A} : \ell_{VA}$ | 0,5<br>0,5 |
| 9. Межосевое расстояние, м                                                                 | $\ell_{DC}$                                            | 0,35       |
| 10. Координата центра ползуна 5, м                                                         | $\rho_{S_5}$                                           | 0,164      |
| 11. Вылет резца, м                                                                         | $\rho_p$                                               | 0,09       |
| 12. Сила резания, Н                                                                        | $P_{\text{рез}}$                                       | 2000       |
| 13. Сила трения между ползуном 5 и направляющими, Н                                        | $F$                                                    | 200        |
| 14. Масса ползуна 5, кг                                                                    | $m_5$                                                  | 70         |
| 15. Масса коромысла 3, кг                                                                  | $m_3$                                                  | 22         |
| 16. Масса шатуна 2, кг                                                                     | $m_2$                                                  | 8          |
| 17. Коэффициент неравномерности вращения кривошипа                                         | $\delta$                                               | 1/20       |
| 18. Приведенный к валу электродвигателя момент инерции звеньев I группы, кг·м <sup>2</sup> | $J_{pr}^I$                                             | 0,7        |
| 19. Угловая координата для силового расчета (см. рис. 1, а), град                          | $\psi_1$                                               | 72         |
| 20. Длина коромысла (толкателя), м                                                         | $\ell_{MN}$                                            | 0,2        |
| 21. Максимальный подъем толкателя, м                                                       | $h$                                                    | 0,04       |
| 22. Максимально допустимый угол давления толкателя, град                                   | $\alpha_{\text{доп}}$                                  | 30         |
| 23. Числа зубьев колеса 5, 6                                                               | $z_5, z_6$                                             | II; 16     |
| 24. Модуль зубчатых колес 5, 6, мм                                                         | $m$                                                    | 3,0        |
| 25. Число сателлитов в планетарном редукторе                                               | $K$                                                    | 3,0        |

П р и м е ч а н и я. 1. Размеры звеньев кривошипно-коромысло ( $\ell_{DC}, \ell_{DC}/\ell_{BC}$ ).  
 2. Момент инерции коромысла и шатуна 2.  
 3. Положение центров тяжести считать

Таблица П.3

| Числовые значения для вариантов |        |        |        |       |        |        |        |        |  |
|---------------------------------|--------|--------|--------|-------|--------|--------|--------|--------|--|
| 2                               | 3      | 4      | 5      | 6     | 7      | 8      | 9      | 0      |  |
| 0,26                            | 0,3    | 0,24   | 0,25   | 0,26  | 0,28   | 0,30   | 0,32   | 0,34   |  |
| 0,1H                            | 0,1H   | 0,1H   | 0,1H   | 0,1H  | 0,1H   | 0,1H   | 0,1H   | 0,1H   |  |
| 1420                            | 930    | 1440   | 940    | 1420  | 1420   | 1420   | 1420   | 1420   |  |
| 1,5                             | 1,4    | 1,75   | 1,4    | 1,25  | 1,05   | 1,10   | 1,09   | 1,08   |  |
| 26                              | 30     | 27     | 25     | 30    | 32     | 34     | 36     | 36     |  |
| 0,7                             | 0,6    | 0,8    | 0,8    | 0,6   | 0,65   | 0,7    | 0,75   | 0,8    |  |
| 1,5                             | 1,5    | 1,5    | 1,5    | 1,5   | 1,5    | 1,5    | 1,5    | 1,5    |  |
| 0,5                             | 0,5    | 0,5    | 0,5    | 0,5   | 0,5    | 0,5    | 0,5    | 0,5    |  |
| 0,5                             | 0,5    | 0,5    | 0,5    | 0,5   | 0,5    | 0,5    | 0,5    | 0,5    |  |
| 0,4                             | 0,34   | 0,45   | 0,34   | 0,34  | 0,59   | 0,56   | 0,67   | 0,65   |  |
| 0,184                           | 0,18   | 0,21   | 0,2    | 0,18  | 0,20   | 0,22   | 0,25   | 0,27   |  |
| 0,08                            | 0,10   | 0,10   | 0,08   | 0,1   | 0,1    | 0,1    | 0,1    | 0,1    |  |
| 1800                            | 2000   | 1700   | 1900   | 2000  | 2000   | 2000   | 2000   | 2000   |  |
| 180                             | 200    | 170    | 190    | 200   | 200    | 200    | 200    | 200    |  |
| 75                              | 50     | 65     | 60     | 70    | 75     | 80     | 85     | 80     |  |
| 16                              | 29     | 10     | 10     | 20    | 24     | 23     | 12     | II     |  |
| 9                               | 6      | 7      | 7      | 7     | 8      | 9      | 10     | II     |  |
| I/20                            | I/20   | I/25   | I/25   | I/20  | I/20   | I/20   | I/20   | I/20   |  |
| 0,5                             | 0,7    | 0,5    | 0,7    | 0,5   | 0,5    | 0,5    | 0,5    | 0,5    |  |
| 90                              | 70     | 105    | 120    | 60    | 90     | 120    | 60     | 90     |  |
| 0,15                            | 0,3    | 0,13   | 0,16   | 0,12  | 0,14   | 0,16   | 0,18   | 0,20   |  |
| 0,05                            | 0,05   | 0,035  | 0,05   | 0,03  | 0,035  | 0,04   | 0,045  | 0,05   |  |
| 35                              | 35     | 35     | 35     | 30    | 30     | 30     | 30     | 30     |  |
| 10; 14                          | II; 14 | II; 15 | 12; 14 | 9; II | 10; 12 | II; 13 | 12; 14 | 13; 15 |  |
| 3,5                             | 10     | 3,0    | 10     | 5     | 5      | 5      | 4      | 4      |  |
| 3,0                             | 3,0    | 3,0    | 3,0    | 3,0   | 3,0    | 3      | 3      | 3      |  |

вого механизма определять по заданным условиям ( $H, K_{V_5} = K_{\omega_3}, \rho_{DC}$ ,

определить по зависимости  $J = ml^2/10$ ,  
посредине длин звеньев.

Исходные

| Наименование параметра                                                                                                                  | Обозначение                     | I     |
|-----------------------------------------------------------------------------------------------------------------------------------------|---------------------------------|-------|
| 1. Длина хода ползуна, м                                                                                                                | $H$                             | 0,32  |
| 2. Коэффициент скорости ползуна                                                                                                         | $K_V$                           | 1,667 |
| 3. Расстояние между осями вращения, м                                                                                                   | $\rho_{BC}$                     | 0,23  |
| 4. Отношение длины шатуна к длине кулисы                                                                                                | $\lambda = \rho_{BD}/\rho_{BC}$ | 0,35  |
| 5. Отношения, определяющие положение центра тяжести звеньев                                                                             |                                 | 0,5   |
| 6. Число оборотов кривошипа, об/мин                                                                                                     | $n_1$                           | 90    |
| 7. Максимальное усилие прессования, Н                                                                                                   | $P_{max}$                       | 7000  |
| 8. Масса ползуна, кг                                                                                                                    | $m_5$                           | 40    |
| 9. Масса шатуна, кг                                                                                                                     | $m_4$                           | 5     |
| 10. Масса кулисы, кг                                                                                                                    | $m_3$                           | 15    |
| II. Масса зубчатого колеса с кривошипом, кг                                                                                             | $m_1$                           | 10    |
| 12. Коэффициент неравномерности                                                                                                         | $\delta$                        | 1/30  |
| 13. Момент инерции вращающихся деталей (ротора, редуктора, зубчатых передач), приведенный к выходному валу редуктора, кг·м <sup>2</sup> | $J_{pr}^I$                      | 30    |
| 14. Число оборотов электродвигателя, об/мин                                                                                             | $n_{ed}$                        | 1440  |
| 15. Угловая координата кривошипа для силового расчета, град                                                                             | $\psi$                          | 60    |
| 16. Соотношение между ускорениями                                                                                                       | $a_1/a_2$                       | 0,5   |
| 17. Ход толкателя кулачкового механизма, м                                                                                              | $h$                             | 0,05  |
| 18. Число оборотов кулачка, об/мин                                                                                                      | $n_k$                           | 90    |
| 19. Максимально допустимый угол давления, град                                                                                          | $\alpha_{dol}$                  | 30    |
| 20. Угол рабочего профиля, град                                                                                                         | $\delta_{раб}$                  | 180   |
| 21. Числа зубьев колес                                                                                                                  | $z_5$                           | 12    |
|                                                                                                                                         | $z_6$                           | 16    |
|                                                                                                                                         | $z_7$                           | 24    |
| 22. Модуль зубчатых колес, мм                                                                                                           | $m$                             | 5     |
| 23. Число сателлитов в редукторе                                                                                                        | $K$                             | 3     |

П р и м е ч а н и я. 1. Момент инерции кулисы 3 и шатуна 4

2. Положение центров тяжести считать

3. Геометрический расчет эвольвентной

Таблица П.4

данные

| Числовые значения для вариантов |      |       |       |      |      |      |      |      |  |
|---------------------------------|------|-------|-------|------|------|------|------|------|--|
| 2                               | 3    | 4     | 5     | 6    | 7    | 8    | 9    | 0    |  |
| 0,25                            | 0,3  | 0,28  | 0,25  | 0,34 | 0,36 | 0,38 | 0,35 | 0,30 |  |
| 1,50                            | 1,5  | 1,667 | 1,667 | 1,5  | 1,4  | 1,4  | 1,4  | 1,4  |  |
| 0,15                            | 0,20 | 0,18  | 0,20  | 0,22 | 0,24 | 0,26 | 0,24 | 0,21 |  |
| 0,3                             | 0,35 | 0,3   | 0,4   | 0,4  | 0,4  | 0,4  | 0,3  | 0,4  |  |
| 0,5                             | 0,5  | 0,5   | 0,5   | 0,5  | 0,5  | 0,5  | 0,5  | 0,5  |  |
| 95                              | 80   | 85    | 100   | 80   | 75   | 70   | 65   | 60   |  |
| 6500                            | 6000 | 7000  | 6500  | 7000 | 7500 | 8000 | 8500 | 9000 |  |
| 38                              | 40   | 35    | 42    | 45   | 50   | 55   | 60   | 65   |  |
| 4                               | 3,5  | 4,5   | 4     | 5    | 6    | 7    | 8    | 9    |  |
| 12                              | 14   | 13    | 12    | 15   | 18   | 20   | 25   | 30   |  |
| 8                               | 10   | 7     | 9     | 8    | 9    | 10   | 11   | 12   |  |
| 1/25                            | 1/20 | 1/30  | 1/20  | 1/25 | 1/25 | 1/25 | 1/25 | 1/25 |  |

вычислить по формуле  $J = m\rho^2/7$ .

посредине звеньев.

зубчатой передачи выполнить для колес с числами зубьев  $z_5$  и  $z_6$ .

Таблица П.5

| Исходные<br>данные      | Числовые значения для вариантов |       |       |       |       |       |       |       |      |      |
|-------------------------|---------------------------------|-------|-------|-------|-------|-------|-------|-------|------|------|
|                         | 2                               | 3     | 4     | 5     | 6     | 7     | 8     | 9     | 0    |      |
| 2920                    | 2920                            | 2920  | 2920  | 2920  | 2920  | 2920  | 2920  | 2920  | 2920 | 2920 |
| 160                     | 130                             | 150   | 140   | 110   | 120   | 130   | 140   | 150   |      |      |
| 0,035                   | 0,040                           | 0,030 | 0,040 | 0,045 | 0,045 | 0,035 | 0,03  | 0,025 |      |      |
| $\frac{H_B}{H_F}$       | 1/3                             | 1/2,5 | 1/3   | 1/2,5 | 1/3   | 1/3   | 1/3   | 1/3   | 1/3  |      |
| $P_{\text{стах}}$       | 7500                            | 6500  | 8500  | 7000  | 11000 | 10500 | 10000 | 9500  | 9000 |      |
| $\ell_{BC} = \ell_{CD}$ | 0,22                            | 0,22  | 0,20  | 0,18  | 0,20  | 0,19  | 0,18  | 0,17  | 0,16 |      |
| $\ell_{BC}/\ell_{BD}$   | 2                               | 2     | 2     | 2     | 2     | 2     | 2     | 2     | 2    |      |
| $\ell_{CO}$             | 0,28                            | 0,30  | 0,28  | 0,27  | 0,36  | 0,34  | 0,32  | 0,30  | 0,28 |      |
| $\ell_{DF}$             | 0,20                            | 0,18  | 0,18  | 0,17  | 0,20  | 0,19  | 0,18  | 0,17  | 0,16 |      |
| $K_w$                   | 1,12                            | 1,15  | 1,10  | 1,12  | 1,15  | 1,4   | 1,4   | 1,25  | 1,25 | 1,25 |
| $\ell_{AS_2}/\ell_{AB}$ | 0,5                             | 0,5   | 0,5   | 0,5   | 0,5   | 0,5   | 0,5   | 0,5   | 0,5  |      |
| $m_2$                   | 3,0                             | 3,5   | 3,5   | 3,0   | 3,5   | 3,2   | 3,0   | 2,7   | 2,5  |      |
| $m_3$                   | 4,0                             | 4,5   | 4,0   | 4,5   | 4,0   | 6,0   | 5,5   | 5,0   | 4,5  | 4,0  |
| $m_5$                   | 10,0                            | 9,0   | 9,0   | 8,0   | 12    | 11    | 10    | 9     | 8    |      |
| $\delta$                | 1/12                            | 1/15  | 1/10  | 1/12  | 1/15  | 1/8   | 1/9   | 1/10  | 1/11 | 1/12 |
| $J_{\text{шр}}^I$       | 2,0                             | 2,0   | 2,0   | 2,0   | 1,5   | 1,5   | 1,5   | 2,5   | 2,5  |      |
| $\psi_1$                | 120                             | 120   | 120   | 120   | 120   | 120   | 120   | 150   | 150  |      |
| $\psi_7$                | 20                              | 22    | 21    | 20    | 22    | 25    | 25    | 25    | 25   |      |
| $\ell_{KN}$             | 0,15                            | 0,13  | 0,14  | 0,15  | 0,13  | 0,22  | 0,2   | 0,18  | 0,16 | 0,14 |
| $\angle_{\text{дол}}$   | 30                              | 35    | 30    | 30    | 40    | 40    | 40    | 40    | 40   |      |
| $\varphi_{\text{под}}$  | 100                             | 90    | 100   | 90    | 110   | 100   | 90    | 120   | 120  |      |
| $\psi_{\text{опл}}$     | 60                              | 60    | 50    | 70    | 70    | 70    | 60    | 80    | 70   |      |
| $z_5$                   | 11                              | 12    | 10    | 12    | 11    | 9     | 10    | 11    | 12   | 13   |
| $z_6$                   | 18                              | 17    | 16    | 15    | 11    | 12    | 13    | 14    | 15   |      |
| $m$                     | 5                               | 5     | 5     | 5     | 5     | 5     | 4     | 4     | 4    |      |
| $K$                     | 3                               | 3     | 3     | 3     | 3     | 3     | 3     | 3     | 3    |      |

- Наименование параметров      Обозна-  
чение      I
1. Число оборотов электродвигателя, об/мин       $n_{\text{ном}}$       2920
  2. Число оборотов кривошипа, об/мин       $N_1$       140
  3. Ход ползуна при высадке, м       $H_B$       0,030
  4. Отношение высадочного хода ползуна к его полному ходу       $H_B/H_F$       1/3
  5. Максимальное условие высадки, Н       $P_{\text{стах}}$       7500
  6. Длина коромысла, м       $\ell_{BC} = \ell_{CD}$       0,22
  7. Отношение длин для коромысла 3       $\ell_{BC}/\ell_{BD}$       2
  8. Расстояние между осями вращения кривошипа 1 и коромысла 3, м       $\ell_{CO}$       0,28
  9. Длина шатуна 4, м       $\ell_{DF}$       0,20
  10. Коэффициент изменения средней скорости коромысла       $K_w$       1,12
  - II. Отношение, определяющее положение центра тяжести шатуна 2       $\ell_{AS_2}/\ell_{AB}$       0,5
  12. Масса шатуна 2, кг       $m_2$       3,0
  13. Масса коромысла 3, кг       $m_3$       4,0
  14. Масса ползуна 5, кг       $m_5$       10,0
  15. Коэффициент неравномерности вращения вала кривошипа       $\delta$       1/12
  16. Момент инерции кривошипа ротора электродвигателя и планетарного редуктора с зубчатым колесом 5, приведенный к валу кривошипа, кг·м<sup>2</sup>       $J_{\text{шр}}^I$       2,0
  17. Угловая координата кривошипа для силового расчета, град       $\psi_1$       120
  18. Угол поворота толкателя, град       $\psi_7$       20
  19. Длина толкателя, м       $\ell_{KN}$       0,15
  20. Максимально допустимый угол давления в кулачковом механизме, град       $\angle_{\text{дол}}$       30
  21. Угол рабочего профиля кулачика, град       $\varphi_{\text{раб}}$       100
  - $\varphi_{\text{раб}} = \varphi_{\text{раб}} = \varphi_{\text{под}} + \varphi_{\text{опл}}$
  22. Числа зубьев колес       $z_5$       11       $z_6$       18
  23. Модуль зубчатых колес, мм       $m$       5
  24. Число сателлитов в планетарном редукторе       $K$       3
- Приемчания. 1. Момент инерции шатуна 2 и коромысла 3 посередине длин звеньев. 3. При проектировании кривошипно-коромысло определении положения точки С на линии перемещения ползуна 5 нижнем положении F" ползун 5 должен быть не менее 5° (см. рис. вспомогательной окружности и точку С - центр вращения коромысла 3 -

вычислить по формуле  $J = mP^2/4$ . 2. Положение центров тяжести считать лового механизма по заданным условиям ( $H_B/H_F$ ,  $\ell_{DF}$ ,  $\ell_{BC} = \ell_{CD}$ ,  $\ell_{BC}/\ell_{BD}$ ,  $K_w$ ) следует учесть, что угол между вертикалью и шатуном 4 при крайнем 5. 1, а). 4. При определении длин кривошипа 1 и шатуна 2 центр следует располагать по разные стороны от хорды 3'8".

Исходные

| Наименование параметра                                                                                                 | Обозначение           | Исходные |
|------------------------------------------------------------------------------------------------------------------------|-----------------------|----------|
|                                                                                                                        |                       | I        |
| 1. Максимальная длина хода ползуна, м                                                                                  | $H$                   | 0,38     |
| 2. Число оборотов кривошипа, об/мин                                                                                    | $n_1$                 | 200      |
| 3. Число оборотов электродвигателя, об/мин                                                                             | $n_D$                 | 2800     |
| 4. Максимальное усилие прессования, Н                                                                                  | $P_{\text{стах}}$     | 34000    |
| 5. Межосевое расстояние между опорами кривошипа и кулисы, м                                                            | $\ell_{\text{ос}}$    | 0,18     |
| 6. Коэффициент изменения скорости ползуна                                                                              | $K_V$                 | 2        |
| 7. Отношение длины шатуна к длине кулисы                                                                               | $D/E$                 | 0,30     |
| 8. Отношение расстояния от точки $C$ до центра тяжести кулисы к длине кулисы                                           | $cS_3/CD$             | 0,5      |
| 9. Отношение расстояния от точки $D$ до центра тяжести шатуна к длине шатуна                                           | $Ds_4/DE$             | 0,5      |
| 10. Масса ползуна, кг                                                                                                  | $m_5$                 | 50       |
| II. Масса кулисы, кг                                                                                                   | $m_3$                 | 30       |
| 12. Коэффициент неравномерности вращения кривошипа                                                                     | $\delta$              | I/10     |
| 13. Момент инерции ротора электродвигателя и зубчатого механизма приведения к валу электродвигателя, кг·м <sup>2</sup> | $J_{\text{пр}}^I$     | 0,1      |
| 14. Угловая координата для силового расчета (см. рис. 6.1), град                                                       | $\psi_1$              | 270      |
| 15. Максимальный подъем толкателя, м                                                                                   | $h$                   | 0,030    |
| 16. Максимально допустимый угол давления толкателя, град                                                               | $\angle_{\text{доп}}$ | 20       |
| 17. Угол рабочего профиля кулачка, град                                                                                | $\beta_{\text{раб}}$  | 190      |
| 18. Угол поворота кулачка, соответствующий дальнему стоянию толкателя, град                                            | $\psi_{\text{высм}}$  | 10       |
| 19. Отношение величин ускорений толкателя                                                                              | $\gamma = a_1/a_2$    | 1,8      |
| 20. Число зубьев колеса 6                                                                                              | $z_6$                 | 15       |
| 21. Число зубьев колеса 7                                                                                              | $z_7$                 | 10       |
| 22. Число зубьев колеса 8                                                                                              | $z_8$                 | 15       |
| 23. Модуль зубчатых колес 6, 7, 8, мм                                                                                  | $m$                   | 5        |
| 24. Число сателлитов в планетарном редукторе                                                                           | $K$                   | 3        |

Приложения. I. Момент инерции кулисы 3 вычислить по  
 2. Положение центров тяжести считать  
 3. При проектировании кривошинно-кулисно-дуги, стягивающей крайние положения  
 4. Геометрический расчет эвольвентной

Таблица П.6

данные

| Числовые значения для вариантов |       |       |       |       |       |       |       |       |  |
|---------------------------------|-------|-------|-------|-------|-------|-------|-------|-------|--|
| 2                               | 3     | 4     | 5     | 6     | 7     | 8     | 9     | 0     |  |
| 0,36                            | 0,34  | 0,40  | 0,34  | 0,42  | 0,44  | 0,46  | 0,48  | 0,5   |  |
| 240                             | 180   | 220   | 150   | 180   | 200   | 220   | 240   | 260   |  |
| 2400                            | 2400  | 2200  | 2500  | 2820  | 2820  | 2820  | 2820  | 2820  |  |
| 36000                           | 35000 | 33000 | 32000 | 37000 | 38000 | 39000 | 40000 | 41000 |  |
| 0,20                            | 0,21  | 0,19  | 0,22  | 0,24  | 0,25  | 0,26  | 0,27  | 0,28  |  |
| 1,8                             | 1,9   | 1,7   | 1,6   | 1,4   | 1,4   | 1,4   | 1,5   | 1,5   |  |
| 0,33                            | 0,36  | 0,34  | 0,32  | 0,33  | 0,33  | 0,33  | 0,33  | 0,33  |  |
| 0,5                             | 0,5   | 0,5   | 0,5   | 0,5   | 0,5   | 0,5   | 0,5   | 0,5   |  |
| 0,5                             | 0,5   | 0,5   | 0,5   | 0,5   | 0,5   | 0,5   | 0,5   | 0,5   |  |
| 60                              | 55    | 65    | 70    | 75    | 80    | 85    | 90    | 95    |  |
| 40                              | 35    | 45    | 40    | 45    | 50    | 55    | 60    | 65    |  |
| I/14                            | I/15  | I/12  | I/16  | I/12  | I/14  | I/15  | I/18  | I/20  |  |
| 0,12                            | 0,15  | 0,18  | 0,15  | 0,15  | 0,15  | 0,18  | 0,18  | 0,2   |  |
| 240                             | 270   | 240   | 270   | 210   | 240   | 270   | 210   | 240   |  |
| 0,035                           | 0,040 | 0,042 | 0,038 | 0,038 | 0,04  | 0,042 | 0,046 | 0,048 |  |
| 25                              | 24    | 26    | 22    | 30    | 30    | 30    | 30    | 30    |  |
| 200                             | 180   | 210   | 220   | 160   | 170   | 180   | 190   | 200   |  |
| 10                              | 10    | 10    | 10    | 10    | 10    | 10    | 10    | 10    |  |
| 1,6                             | 1,9   | 2     | 1,7   | 1,5   | 1,8   | 2,0   | 1,5   | 2,0   |  |
| 12                              | 12    | 11    | 14    | 10    | 11    | 12    | 13    | 14    |  |
| 9                               | 8     | 8     | 10    | 12    | 13    | 9     | 10    | 9     |  |
| 11                              | 12    | 12    | 14    | 18    | 20    | 16    | 25    | 20    |  |
| 6                               | 5     | 6     | 5     | 5     | 4     | 5     | 4     | 4     |  |
| 3                               | 3     | 3     | 3     | 3     | 3     | 3     | 3     | 3     |  |

формуле  $J_S = m\ell^2/10$ ,

посредине длин звеньев.

то механизма ось ползуна 5 проводить через середину стрелы прогиба точки  $D$  кулисы  $CD$ ,  
 зубчатой передачи выполнить для колес 7 и 8.

Таблица П.7

данные

|                                                                                                                        | Обозна-<br>чение        | Числовые значения для вариантов |         |          |         |         |          |         |         |         |          |
|------------------------------------------------------------------------------------------------------------------------|-------------------------|---------------------------------|---------|----------|---------|---------|----------|---------|---------|---------|----------|
|                                                                                                                        |                         | 2                               | 3       | 4        | 5       | 6       | 7        | 8       | 9       | 10      |          |
| I. Максимальная длина хода ползуна, м                                                                                  | $H$                     | 0,28                            | 0,20    | 0,25     | 0,30    | 0,20    | 0,22     | 0,24    | 0,26    | 0,28    | 0,3      |
| 2. Длина перебора резца, м                                                                                             | $l_p$                   | 0,1H                            | 0,1H    | 0,1H     | 0,1H    | 0,1H    | 0,1H     | 0,1H    | 0,1H    | 0,1H    | 0,1H     |
| 3. Межосевое расстояние в кривошипно-кулисном механизме, м                                                             | $l_{DE}$                | 0,040                           | 0,050   | 0,050    | 0,065   | 0,030   | 0,04     | 0,04    | 0,05    | 0,05    | 0,06     |
| 4. Соотношение между размерами звеньев 3 и 4                                                                           | $\lambda = EC/CD$       | 1/3                             | 1/2,5   | 1/3      | 1/3     | 1/2,5   | 1/3      | 1/3     | 1/3     | 1/3     | 1/3      |
| 5. Коэффициент изменения скорости ползуна                                                                              | $K_V$                   | 1,30                            | 1,40    | 1,45     | 1,40    | 1,60    | 1,4      | 1,4     | 1,4     | 1,4     | 1,4      |
| 6. Число оборотов кривошипа, об/мин                                                                                    | $n_1$                   | 90                              | 80      | 100      | 85      | 110     | 75       | 75      | 120     | 120     | 120      |
| 7. Число оборотов электродвигателя, об/мин                                                                             | $n_{DB}$                | 1440                            | 1440    | 2920     | 2890    | 1440    | 1440     | 2890    | 2890    | 2890    | 2890     |
| 8. Вылет резца, м                                                                                                      | $l_p$                   | 0,08                            | 0,05    | 0,07     | 0,09    | 0,05    | 0,06     | 0,06    | 0,06    | 0,06    | 0,06     |
| 9. Сила резания, Н                                                                                                     | $P_{рез}$               | 2000                            | 1800    | 1500     | 2500    | 1800    | 2000     | 2200    | 2400    | 2700    | 3000     |
| 10. Сила трения между ползуном 5 и направляющими, Н                                                                    | $F_5$                   | 200                             | 200     | 150      | 250     | 180     | 200      | 220     | 240     | 260     | 280      |
| II. Масса звена 5, кг                                                                                                  | $m_5$                   | 50                              | 40      | 40       | 60      | 30      | 30       | 35      | 40      | 45      | 50       |
| 12. Масса шатуна 4, кг                                                                                                 | $m_4$                   | 10                              | 13      | 15       | 12,5    | 12      | 10       | 12      | 14      | 16      | 18       |
| 13. Масса кулисы 3, кг                                                                                                 | $m_3$                   | 15                              | 15      | 15       | 20      | 20      | 15       | 15      | 15      | 20      | 20       |
| 14. Масса кулисного ползуна 2, кг                                                                                      | $m_2$                   | 0,5                             | 1,0     | 0,4      | 0,5     | 0,3     | 1,0      | 1,0     | 1,0     | 1,0     | 1,0      |
| 15. Координата центра тяжести ползуна 5, м                                                                             | $l_{S5}$                | 0,15                            | 0,10    | 0,12     | 0,18    | 0,10    | 0,1      | 0,1     | 0,12    | 0,12    | 0,15     |
| 16. Отношение, определяющее положение центра тяжести шатуна 4                                                          | $\ell_{CS_4}/\ell_{CB}$ | 0,3                             | 0,35    | 0,40     | 0,30    | 0,50    | 1/3      | 1/3     | 1/3     | 1/3     | 1/3      |
| 17. Положение центра тяжести кулисы 3                                                                                  | $\ell_{ES_3}/\ell_{CE}$ | 2/3                             | 2/3     | 2/3      | 2/3     | 2/3     | 2/3      | 2/3     | 2/3     | 2/3     | 2/3      |
| 18. Коэффициент неравномерности вращения                                                                               | $\delta$                | 0,075                           | 0,050   | 0,080    | 0,060   | 0,040   | 0,05     | 0,05    | 0,06    | 0,06    | 0,075    |
| 19. Момент инерции вращающихся деталей (зубчатых колес, шкивов и др.), приведенный к валу кривошипа, кг·м <sup>2</sup> | $J_0$                   | 50                              | 70      | 80       | 60      | 25      | 25       | 35      | 50      | 50      | 60       |
| 20. Угловая координата для силового расчета, град                                                                      | $\varphi$               | 45                              | 150     | 30       | 60      | 150     | 180      | 90      | 120     | 210     | 75       |
| 21. Числа зубьев колес передачи с $z_5$ и $z_6$                                                                        |                         | 10<br>16                        | 9<br>14 | 10<br>15 | 9<br>13 | 8<br>14 | 10<br>13 | 9<br>12 | 8<br>12 | 9<br>15 | 10<br>16 |
| 22. Модуль зубчатых колес с $z_5$ и $z_6$ , мм                                                                         |                         | 5                               | 5       | 4        | 6       | 6       | 5        | 5       | 5       | 5       | 5        |
| 23. Длина рычага толкателя, м                                                                                          | $\ell_{EM}$             | 0,2                             | 0,3     | 0,15     | 0,18    | 0,12    | 0,2      | 0,22    | 0,24    | 0,24    | 0,26     |
| 24. Дуговой ход толкателя точки $B$ , м                                                                                | $h$                     | 0,08                            | 0,10    | 0,06     | 0,07    | 0,05    | 0,06     | 0,07    | 0,08    | 0,09    | 0,1      |
| 25. Максимально допустимый угол давления толкателя, град                                                               | $\angle_{dop}$          | 40                              | 42      | 35       | 30      | 30      | 35       | 35      | 40      | 40      | 30       |
| 26. Число сателлитов в планетарном редукторе                                                                           | $K$                     | 3                               | 3       | 3        | 3       | 3       | 3        | 3       | 3       | 3       | 3        |

Примечания. 1. Момент инерции кулисы 3 и шатуна 4

2. Положение центров тяжести считать

определить по зависимости  $J_0 = mP^2/16$ .

посредине длин звеньев.

| Наименование параметра                                                                 | Обозна-<br>чение | Исходные |      |
|----------------------------------------------------------------------------------------|------------------|----------|------|
|                                                                                        |                  | I        |      |
| 1. Максимальный ход поршней, м                                                         | $H_F$            | 0,070    |      |
| 2. Угол качания коромысла, град                                                        | $\beta$          | 36       |      |
| 3. Конструктивный угол, град                                                           | $\theta$         | 165      |      |
| 4. Размер по стойке, м                                                                 | $h_2$            | 0,118    |      |
| 5. Максимальный угол давления для звеньев 4 и 5, град                                  | $\alpha_{max}$   | 8        |      |
| 6. Коэффициент изменения скорости                                                      | $K_V$            | I        |      |
| 7. Число оборотов вала двигателя, об/мин                                               | $n_d$            | 2920     |      |
| 8. Число оборотов коленчатого вала, об/мин                                             | $n_1$            | 140      |      |
| 9. Максимальное давление в цилиндре, МПа                                               | $P_{max}$        | 15       |      |
| 10. Диаметр цилиндра, м                                                                | $d$              | 0,075    |      |
| II. Масса звеньев, кг                                                                  | $m_1$            | 0,5      |      |
|                                                                                        | $m_2$            | 1,2      |      |
|                                                                                        | $m_3$            | 2,8      |      |
|                                                                                        | $m_5$            | 4,9      |      |
| 12. Момент инерции звеньев I-й группы, приведенный к валу кривошила, кг·м <sup>2</sup> | $J_0$            | 0,2      |      |
| 13. Коэффициент неравномерности вращения коленчатого вала                              | $\delta$         | 1/15     |      |
| 14. Угловая координата коленчатого вала для силового расчета, град                     | $\psi$           | 60       |      |
| 15. Угол рабочего профиля кулачка, град                                                | $\delta_{раб}$   | 180      |      |
| 16. Ход плунжера насоса (толкателя кулачкового механизма), м                           | $H_E$            | 0,035    |      |
| 17. Максимально допустимый угол давления в кулачковом механизме, град                  | $\alpha_{ доп}$  | 30       |      |
| 18. Отношение величин ускорений толкателя                                              | $a_1/a_2$        | I        |      |
| 19. Число зубьев                                                                       | $z_5$            | 12       |      |
|                                                                                        | $z_6$            | 14       |      |
| 20. Модуль зубчатых колес $z_5, z_6$ , мм                                              |                  | 5        |      |
| 21. Число сателлитов в планетарном редукторе                                           | $K$              | 3        |      |
| Значения давления в цилиндрах компрессора волях от $P_{max}$                           |                  |          |      |
| Движение поршней $S$                                                                   | $S_F/H_F$        | 0,0      | 0,1  |
|                                                                                        |                  | 0,2      |      |
| Цилиндр 6 Вправо                                                                       | $P/P_{max}$      | I        | 0,5  |
|                                                                                        |                  | I        | I    |
| Цилиндр 6 Влево                                                                        |                  | 0,2      | 0,2  |
|                                                                                        | $P/P_{max}$      | 0,2      | 0,23 |
|                                                                                        |                  | 0,27     |      |

При мечания. 1. Центры тяжести звеньев 2 и 5 принять делить по зависимости  $z_S = m^2/10$ . 3. Определение размеров  $l_{24}, l_{48}$ ,  $K_V$  и  $h_2$ , полагая, что стержень DC звена 3 в средней позиции

Таблица П.8.1

| Числовые значения для вариантов |       |       |       |       |       |       |       |       |  |
|---------------------------------|-------|-------|-------|-------|-------|-------|-------|-------|--|
| 2                               | 3     | 4     | 5     | 6     | 7     | 8     | 9     | 0     |  |
| 0,065                           | 0,060 | 0,075 | 0,08  | 0,085 | 0,09  | 0,055 | 0,08  | 0,095 |  |
| 30                              | 40    | 38    | 30    | 40    | 40    | 40    | 40    | 40    |  |
| 160                             | 155   | 165   | 170   | 160   | 160   | 160   | 160   | 160   |  |
| 0,120                           | 0,125 | 0,120 | 0,120 | 0,115 | 0,110 | 0,100 | 0,11  | 0,115 |  |
| 6                               | 8     | 6     | 8     | 6     | 6     | 8     | 8     | 8     |  |
| I                               | I     | I     | I     | I     | I     | I     | I     | I     |  |
| 2920                            | 2920  | 2920  | 2920  | 2920  | 2920  | 2920  | 2920  | 2920  |  |
| 120                             | 135   | 130   | 145   | 100   | 105   | 110   | 115   | 125   |  |
| I2                              | I4,0  | I5,5  | I6    | I7    | I8    | I9    | I20   | I22   |  |
| 0,08                            | 0,07  | 0,075 | 0,08  | 0,08  | 0,08  | 0,06  | 0,075 | 0,09  |  |
| 0,45                            | 0,4   | 0,5   | 0,55  | 0,6   | 0,6   | 0,45  | 0,5   | 0,6   |  |
| I,3                             | I,1   | I,4   | I,5   | I,4   | I,5   | I,0   | I,5   | I,6   |  |
| 3,0                             | 2,6   | 2,9   | 3,0   | 2,8   | 3     | 2,2   | 2,5   | 3,0   |  |
| 5,0                             | 4,8   | 4,5   | 5,2   | 5,0   | 5,0   | 3,5   | 4,0   | 6,0   |  |
| 0,18                            | 0,15  | 0,25  | 0,3   | 0,3   | 0,35  | 0,15  | 0,25  | 0,35  |  |
| I/18                            | I/22  | I/20  | I/25  | I/12  | I/15  | I/16  | I/18  | I/20  |  |
| 120                             | 140   | 300   | 330   | 30    | 90    | 150   | 120   | 60    |  |
| I60                             | 240   | 200   | 180   | 150   | 210   | 180   | 240   | 180   |  |
| 0,04                            | 0,045 | 0,030 | 0,050 | 0,03  | 0,04  | 0,025 | 0,035 | 0,03  |  |
| 25                              | 32    | 28    | 30    | 30    | 30    | 30    | 30    | 30    |  |
| 2                               | I     | 2     | I     | 2     | I,5   | I,5   | I     | I     |  |
| II                              | 10    | 12    | 10    | 9     | 8     | I3    | 9     | 8     |  |
| I5                              | I2    | I3    | I4    | I4    | I6    | I4    | I2    | I2    |  |
| 6                               | 6     | 5     | 6     | 5     | 5     | 5     | 5     | 5     |  |
| 3                               | 3     | 3     | 3     | 3     | 3     | 3     | 3     | 3     |  |

Таблица П.8.2

| в зависимости от положения поршня |      |      |      |      |      |      |     |  |  |
|-----------------------------------|------|------|------|------|------|------|-----|--|--|
| 0,3                               | 0,4  | 0,5  | 0,6  | 0,7  | 0,8  | 0,9  | 1,0 |  |  |
| 0,2                               | 0,2  | 0,2  | 0,2  | 0,2  | 0,2  | 0,2  | 0,2 |  |  |
| 0,74                              | 0,57 | 0,46 | 0,38 | 0,32 | 0,27 | 0,23 | 0,2 |  |  |
| 0,2                               | 0,2  | 0,2  | 0,2  | 0,2  | 0,28 | 0,5  | 1,0 |  |  |
| 0,32                              | 0,38 | 0,46 | 0,57 | 0,74 | I    | I    | I   |  |  |

посредине их длин. 2. Момент инерции шатуна 2 и коромысла 3 определяется по зависимостям  $J_0 = \rho_{cr} \cdot h_3$  и  $J_0 = h$ , следует произвести по заданным  $H_F, \theta, \beta, \alpha_{max}$ , звено 3 занимает вертикальное положение.

## Исходные

| Наименование параметра                                                             | Обозначение    | 1     |
|------------------------------------------------------------------------------------|----------------|-------|
| 1. Номинальное число оборотов электродвигателя, об/мин                             | $n_{ном}$      | 960   |
| 2. Число оборотов вала, об/мин                                                     | $n_7$          | 100   |
| 3. Диаметр цилиндра, мм                                                            | $d$            | 0,110 |
| 4. Ход поршня, м                                                                   | $H$            | 0,120 |
| 5. Максимальное давление жидкости в цилиндре, МПа                                  | $p_{max}$      | 0,3   |
| 6. Коэффициент неравномерности вращения кривошипного вала                          | $\delta$       | 1/12  |
| 7. Размеры звеньев, м                                                              | $l_{BC}$       | 0,170 |
|                                                                                    | $l_{CD}$       | 0,160 |
|                                                                                    | $l_{DF}$       | 0,100 |
|                                                                                    | $a$            | 0,100 |
| 8. Коэффициент изменения средней скорости поршня                                   | $K_V$          | 1,2   |
| 9. Приведенный к валу кривошипа момент инерции звеньев I группы, кг·м <sup>2</sup> | $J_0$          | 5     |
| 10. Масса звена II (поршень с ползуном), кг                                        | $m_{II}$       | 4     |
| II. Масса единицы длины звеньев 8, 9, 10, кг·м                                     | $q$            | 6     |
| 12. Угловая координата звена 7 для силового расчёта (см. рис. 9.1, а), град        | $\varphi_7$    | 200   |
| 13. Числа зубьев колес 2, 3                                                        | $z_2$          | 11    |
|                                                                                    | $z_3$          | 17    |
| 14. Модуль зубчатой передачи 2, 3, мм                                              | $K$            | 2,5   |
| 15. Число сателлитов в планетарном редукторе                                       | $m$            | 3     |
| 16. Угол рабочего профиля кулачка, град                                            | $\beta_{раб}$  | 60    |
| 17. Ход толкателя кулачкового механизма, м                                         | $h$            | 0,035 |
| 18. Максимально допустимый угол давления в кулачковом механизме, град              | $\alpha_{доп}$ | 30    |
| 19. Отношение величин ускорений толкателя                                          | $a_1/a_2$      | 1     |

Приложения. 1. Центры тяжести  $S_8$  и  $S_{10}$  принять  
2. Моменты инерции  $J_{S8}$ ,  $J_{S9}$ ,  $J_{S10}$   
 $l$  - длина звена.

Таблица П.9

## данные

| Числовые значения для вариантов |       |       |       |       |       |       |       |       |      |
|---------------------------------|-------|-------|-------|-------|-------|-------|-------|-------|------|
| 2                               | 3     | 4     | 5     | 6     | 7     | 8     | 9     | 0     |      |
| 960                             | 960   | 1440  | 1440  | 1440  | 1440  | 1440  | 1440  | 1440  | 1440 |
| 105                             | 110   | 115   | 120   | 125   | 130   | 135   | 140   | 145   |      |
| 0,115                           | 0,120 | 0,125 | 0,130 | 0,1   | 0,11  | 0,12  | 0,125 | 0,130 |      |
| 0,130                           | 0,140 | 0,150 | 0,160 | 0,12  | 0,13  | 0,14  | 0,15  | 0,16  |      |
| 0,35                            | 0,4   | 0,45  | 0,5   | 0,55  | 0,6   | 0,65  | 0,7   | 0,75  |      |
| 1/12                            | 1/10  | 1/10  | 1/8   | 1/12  | 1/14  | 1/15  | 1/16  | 1/17  |      |
| 0,180                           | 0,190 | 0,200 | 0,210 | 0,175 | 0,185 | 0,195 | 0,205 | 0,210 |      |
| 0,170                           | 0,180 | 0,190 | 0,200 | 0,170 | 0,180 | 0,190 | 0,2   | 0,205 |      |
| 0,100                           | 0,100 | 0,100 | 0,100 | 0,1   | 0,1   | 0,1   | 0,1   | 0,1   |      |
| 0,100                           | 0,100 | 0,100 | 0,100 | 0,1   | 0,1   | 0,1   | 0,1   | 0,1   |      |
| 1,2                             | 1,2   | 1,25  | 1,25  | 1,2   | 1,2   | 1,2   | 1,2   | 1,2   |      |
| 5,5                             | 6     | 6,5   | 7     | 7,5   | 8     | 8,5   | 9     | 9,5   |      |
| 4                               | 4,5   | 4,5   | 5     | 5,5   | 6     | 6,5   | 6     | 5     |      |
| 6                               | 7     | 8     | 9     | 10    | 11    | 12    | 11    | 10    |      |
| 220                             | 240   | 260   | 280   | 180   | 270   | 300   | 330   | 360   |      |
| 14                              | 15    | 12    | 13    | 9     | 10    | 10    | 11    | 12    |      |
| 19                              | 20    | 21    | 24    | 13    | 14    | 15    | 15    | 16    |      |
| 2,5                             | 3     | 3     | 3,5   | 5     | 5     | 5     | 5     | 5     |      |
| 3                               | 3     | 3     | 3     | 3     | 3     | 3     | 3     | 3     |      |
| 120                             | 140   | 300   | 330   | 30    | 90    | 150   | 120   | 6     |      |
| 0,04                            | 0,045 | 0,030 | 0,050 | 0,030 | 0,040 | 0,025 | 0,035 |       |      |
| 25                              | 32    | 28    | 30    | 30    | 30    | 30    | 30    |       |      |
| 2                               | 1     | 2     | 1     | 2     | 1     | 2     | 1     |       |      |

посредине звена.

подсчитать по формуле  $J_S = m l^2 / 10$ , где  $m$  - масса звена и

Таблица П.10

## данные

| Числовые значения для вариантов |       |       |       |       |       |       |       |       |  |
|---------------------------------|-------|-------|-------|-------|-------|-------|-------|-------|--|
| 2                               | 3     | 4     | 5     | 6     | 7     | 8     | 9     | 10    |  |
| 0,130                           | 0,120 | 0,125 | 0,140 | 0,145 | 0,150 | 0,155 | 0,160 | 0,165 |  |
| 0,225                           | 0,225 | 0,225 | 0,225 | 0,230 | 0,240 | 0,245 | 0,250 | 0,250 |  |
| 0,170                           | 0,180 | 0,190 | 0,200 | 0,2   | 0,21  | 0,22  | 0,23  | 0,24  |  |
| 25                              | 35    | 20    | 30    | 25    | 15    | 20    | 20    | 15    |  |
| 65                              | 60    | 50    | 70    | 60    | 50    | 45    | 55    | 45    |  |
| 0,06                            | 0,04  | 0,05  | 0,04  | 0,08  | 0,09  | 0,1   | 0,1   | 0,1   |  |
| 120                             | 130   | 100   | 80    | 100   | 90    | 110   | 100   | 120   |  |
| 1440                            | 1440  | 975   | 975   | 1440  | 1440  | 1440  | 1440  | 1440  |  |
| 2,8                             | 3,0   | 2,0   | 2,5   | 3,0   | 2,5   | 2,0   | 2,5   | 3,0   |  |
| 21                              | 25    | 17    | 19    | 20    | 22    | 24    | 25    | 26    |  |
| 17                              | 15    | 17    | 20    | 20    | 20    | 22    | 23    | 24    |  |
| 55                              | 55    | 45    | 50    | 50    | 55    | 50    | 55    | 60    |  |
| 6,5                             | 6,5   | 7,0   | 7,5   | 8,0   | 8,5   | 9,0   | 9,5   | 10    |  |
| 1/12                            | 1/9   | 1/11  | 1/14  | 1/10  | 1/15  | 1/16  | 1/15  | 1/16  |  |
| 35                              | 25    | 15    | 10    | 60    | 120   | 90    | 30    | 45    |  |
| 250                             | 200   | 150   | 140   | 180   | 160   | 120   | 140   | 150   |  |
| 0,020                           | 0,030 | 0,017 | 0,025 | 0,03  | 0,025 | 0,02  | 0,017 | 0,016 |  |
| 25                              | 30    | 20    | 30    | 30    | 30    | 30    | 30    | 30    |  |
| 0,010                           | 0,020 | 0,025 | 0,010 | 0,01  | 0,01  | 0,01  | 0,01  | 0,01  |  |
| 2,5                             | 2     | 2,7   | 2,3   | 2     | 2     | 2     | 2     | 2     |  |
| 11                              | 12    | 11    | 13    | 8     | 10    | 12    | 11    | 10    |  |
| 15                              | 14    | 15    | 16    | 12    | 14    | 14    | 15    | 16    |  |
| 4                               | 5     | 4     | 4     | 5     | 5     | 5     | 5     | 5     |  |
| 3                               | 3     | 3     | 3     | 3     | 3     | 3     | 3     | 3     |  |

лит по формуле  $I_S = m \rho^3 / 8$ .

посредине звеньев.

низма произвести по заданным  $\ell_{OD}$ ,  $\ell_{OB}$ ,  $\ell_{BD}$ . Крайние положения

всасывания считать равным атмосферному.

отсчитывается от положения кривошипа, при котором механизм

угле коромысла 3, равном  $\delta_1$ . Зубчатой передачи выполнить для колес с числами зубьев  $z_5$  и  $z_6$ .

## Исходные

| Наименование параметра                                                               | Обозначение             | I     |
|--------------------------------------------------------------------------------------|-------------------------|-------|
| 1. Координата центра вращения $Q$ кривошипа, м                                       | $a$                     | 0,135 |
|                                                                                      | $b$                     | 0,225 |
| 2. Длина звеньев $\ell_3$ и $\ell_4$ , м                                             | $\ell_{BD} = \ell_{CB}$ | 0,185 |
| 3. Крайнее положение звена (отсчет от горизонтальной прямой), град                   | $\delta_1$              | 30    |
|                                                                                      | $\delta_2$              | 60    |
| 4. Диаметр плунжера насоса, м                                                        | $d$                     | 0,05  |
| 5. Число оборотов кривошипа I, об/мин                                                | $n_1$                   | 100   |
| 6. Число оборотов вала электродвигателя, об/мин                                      | $n_D$                   | 975   |
| 7. Давление жидкости в цилиндре при нагнетании (по ходу плунжера - постоянное), МПа  | $p$                     | 2,5   |
| 8. Масса шатуна 2, кг                                                                | $m_2$                   | 20    |
| 9. Масса шатуна 4, кг                                                                | $m_4$                   | 16    |
| 10. Масса ползуна с плунжером, кг                                                    | $m_5$                   | 50    |
| 11. Момент инерции звеньев I группы, приведенный к валу кривошипа, кг·м <sup>2</sup> | $I_0$                   | 6,0   |
| 12. Коэффициент неравномерности вращения кривошипного вала                           | $\delta$                | 1/10  |
| 13. Координата для силового расчета, град                                            | $\varphi_1$             | 30    |
| 14. Угол рабочего профиля кулачка, град                                              | $\delta_{раб}$          | 240   |
| 15. Ход плунжера масляного насоса, м                                                 | $h$                     | 0,016 |
| 16. Угол давления в кулачковом механизме, град                                       | $\alpha_{дел}$          | 30    |
| 17. Внеосьность, м                                                                   | $\ell$                  | 0,007 |
| 18. Соотношение между ускорениями толкателя                                          | $v = a_1/a_2$           | 3     |
| 19. Числа зубьев колес 5 и 6                                                         | $z_5$                   | 12    |
|                                                                                      | $z_6$                   | 25    |
| 20. Модуль зубчатых колес 5 и 6, мм                                                  | $m$                     | 5     |
| 21. Число сателлитов в редукторе 9                                                   | $k$                     | 3     |

- При мечани я. I. Момент инерции шатунов 2 и 4 вычислить по формуле  $I_S = m \rho^3 / 8$ .
- Положение центров тяжести принять
  - Определение основных размеров механизма производится углами  $\delta_1$  и  $\delta_2$ .
  - Давление жидкости в цилиндре б при
  - При силовом расчете механизма угол  $\psi_1$  находится в крайнем положении при
  - Геометрический расчет эвольвентной

## Исходные

| Наименование параметра                                                                                            | Обозна-<br>чение            | I     |
|-------------------------------------------------------------------------------------------------------------------|-----------------------------|-------|
| 1. Средняя скорость поршня II ступени, м/с                                                                        | $v_{ср}$                    | 2,00  |
| 2. Число оборотов коленчатого вала, об/мин                                                                        | $n_{av}$                    | 600   |
| 3. Число оборотов электродвигателя, об/мин                                                                        | $n_d$                       | 2920  |
| 4. Коэффициент изменения хода поршня I ступени                                                                    | $K_{v_1}$                   | 1,4   |
| 5. Диаметр цилиндра I ступени, м                                                                                  | $D_1$                       | 0,30  |
| 6. Диаметр цилиндра II ступени, м                                                                                 | $D_2$                       | 0,20  |
| 7. Коэффициент неравномерности вращения коленчатого вала                                                          | $\delta$                    | 1/80  |
| 8. Масса поршня I ступени, кг                                                                                     | $m_5$                       | 18    |
| 9. Масса поршня II ступени, кг                                                                                    | $m_7$                       | 12    |
| 10. Масса шатуна I ступени, кг                                                                                    | $m_6$                       | 20    |
| 11. Масса шатуна II ступени, кг                                                                                   | $m_8$                       | 18    |
| 12. Момент инерции звеньев I группы, приведенный к валу кривошипа, кг·м <sup>2</sup>                              | $J_0$                       | 13    |
| 13. Угловая координата коленчатого вала для силового расчета, град                                                | $\psi$                      | 0     |
| 14. Ход толкателя кулачкового механизма, м                                                                        | $h$                         | 0,013 |
| 15. Углы поворота кулачка, град, соответствующие прямому ходу толкателя высоте толкателя обратному ходу толкателя | $\psi_{pk}$                 | 80    |
| 16. Внеосность толкателя, м                                                                                       | $\psi_{вых}$                | 20    |
| 17. Максимально допускаемый угол давления, град                                                                   | $\varphi_{вых}$             | 80    |
| 18. Соотношение между величинами ускорений толкателя                                                              | $\lambda = \frac{a_1}{a_2}$ | 1,8   |
| 19. Число зубьев колеса                                                                                           | $z_{10}, z_{11}$            | 9;13  |
| 20. Число сателлитов в редукторе                                                                                  | $k$                         | 3     |
| 21. Модуль зубчатых колес IО и II, мм                                                                             | $m$                         | 4     |

Значения  $P$ ,  $\Delta P_{max}$ 

|                              |                  |       |
|------------------------------|------------------|-------|
| Путь поршня (в долях хода H) | 0                | 0,1   |
| Для хода поршня вниз         | $P$              | 1 0,3 |
| Для хода поршня вверх        | $\Delta P_{max}$ | 1 1   |

Приложение. 1. Для I ступени  $\Delta P_{max} = P_{1max}, P_{1max} = 1,1 \text{ МПа}$ . 3. Момент инерции звеньев 3, 4 и 6 определить по зависимости от середине их длин. 5.  $H_1 = 2\frac{1}{2}H$ , где  $H$  — ход поршня I ступени,

40

Таблица П.II.1

## данные

| Числовые значения для вариантов |       |       |       |       |       |       |       |       |  |
|---------------------------------|-------|-------|-------|-------|-------|-------|-------|-------|--|
| 2                               | 3     | 4     | 5     | 6     | 7     | 8     | 9     | 0     |  |
| 1,85                            | 1,60  | 2,10  | 2,25  | 1,7   | 1,8   | 1,9   | 2,0   | 2,1   |  |
| 500                             | 400   | 650   | 700   | 450   | 550   | 750   | 700   | 500   |  |
| 2920                            | 2920  | 2920  | 2920  | 2920  | 2920  | 2920  | 2920  | 2920  |  |
| 1,38                            | 1,35  | 1,42  | 1,45  | 1,4   | 1,4   | 1,4   | 1,4   | 1,4   |  |
| 0,28                            | 0,27  | 0,31  | 0,32  | 0,34  | 0,36  | 0,38  | 0,38  | 0,36  |  |
| 0,18                            | 0,17  | 0,21  | 0,22  | 0,19  | 0,21  | 0,23  | 0,23  | 0,21  |  |
| 1/90                            | 1/100 | 1/90  | 1/80  | 1/50  | 1/60  | 1/70  | 1/80  | 1/90  |  |
| 17                              | 16    | 19    | 20    | 22    | 24    | 26    | 27    | 25    |  |
| II                              | 10    | 13    | 14    | 15    | 17    | 19    | 20    | 18    |  |
| 19                              | 18    | 21    | 22    | 25    | 27    | 30    | 30    | 28    |  |
| 17                              | 16    | 19    | 20    | 23    | 25    | 27    | 28    | 26    |  |
| 14,5                            | 18    | 17    | 15    | 18    | 19    | 20    | 15    | 14    |  |
| 90                              | 180   | 270   | 45    | 30    | 60    | 120   | 270   | 45    |  |
| 0,012                           | 0,011 | 0,010 | 0,014 | 0,015 | 0,018 | 0,02  | 0,015 | 0,02  |  |
| 75                              | 70    | 75    | 80    | 90    | 75    | 75    | 80    | 90    |  |
| 15                              | 15    | 15    | 20    | 20    | 20    | 20    | 20    | 15    |  |
| 75                              | 70    | 75    | 80    | 90    | 75    | 75    | 80    | 90    |  |
| 0,005                           | 0,005 | 0,005 | 0,005 | 0,005 | 0,005 | 0,005 | 0,005 | 0,005 |  |
| 30                              | 30    | 30    | 30    | 30    | 30    | 30    | 30    | 30    |  |
| 1,8                             | 2     | 2     | 2,2   | 1,5   | 1,8   | 2,0   | 2,2   | 2,0   |  |
| IO;15                           | II;15 | 12;16 | 12;15 | 10;12 | 9;14  | 12;16 | II;17 | 10;15 |  |
| 3                               | 3     | 3     | 3     | 3     | 3     | 3     | 3     | 3     |  |
| 4                               | 4     | 4     | 4     | 4     | 4     | 4     | 4     | 4     |  |

Таблица П.II.2

## в зависимости от положений поршня

|     |      |      |      |      |      |      |      |     |
|-----|------|------|------|------|------|------|------|-----|
| 0,2 | 0,3  | 0,4  | 0,5  | 0,6  | 0,7  | 0,8  | 0,9  | 1,0 |
| 0   | 0    | 0    | 0    | 0    | 0    | 0    | 0    | 0   |
| I   | 0,55 | 0,38 | 0,27 | 0,18 | 0,12 | 0,08 | 0,04 | 0   |

$= 0,8 \text{ МПа}$ . 2. Для II ступени  $\Delta P_{2max} = P_{2max} - \frac{P_{1max}}{P_{1max}} \cdot \frac{P_{2max}}{\Delta P_{2max}}$ ;  $P_{2max}$  — мосты  $\bar{J} = m^2/6$ . 4. Положение центров тяжести звеньев принять по  $H_2$  — ход поршня II ступени.

47

Учебное издание

ЗАДАНИЯ И УКАЗАНИЯ  
К ВЫПОЛНЕНИЮ КУРСОВОГО ПРОЕКТА  
ПО ТЕОРИИ МЕХАНИЗМОВ И МАШИН

для студентов специальностей 15.04, 15.05

Составители: ПЕРЕГОН Владимир Андреевич  
РЕДЬКО Виктор Васильевич  
КАРПЕНКО Владимир Александрович

Ответственный за выпуск В.А.Перегон

Редактор Т.М.Кашина  
Технический редактор Л.К.Меренкова  
Корректор Л.А.Дьякова

План 1993, поз.15

Подп. к печ. 15.10.92.Формат 60x84<sup>1</sup>/16. Бумага тип. № 2.  
Печать офсетная. Усл.печ. л. 2,79. Усл.кр.-отт. 2,79. Уч.-изд. л. 2,5.  
Изд. №106. Тираж 500 экз. Зак. № 3356. Бесплатно.

ХАЛИ. 310078 Харьков, ул.Петровского, 25.

Харьковское межвузовское арендное полиграфическое предприятие.

310093, Харьков, ул.Свердлова, 115.